



JAEA-Research

2007-084

# ナトリウム冷却炉の炉心・燃料設計検討 (MOX 燃料炉心) -2006 年度報告-

Study on Reactor Core and Fuel Design of Sodium Cooled Fast Reactor  
(Mixed Oxide Fuel Core)  
- Results in JFY2006 -

小川 隆 小林 登 大木 繁夫 永沼 正行  
久保 重信\* 水野 朋保

Takashi OGAWA, Noboru KOBAYASHI, Shigeo OHKI, Masayuki NAGANUMA  
Shigenobu KUBO\* and Tomoyasu MIZUNO

次世代原子力システム研究開発部門  
炉心・燃料設計グループ

Fast Reactor Core and Fuel Design Group  
Advanced Nuclear System Research and Development Directorate

January 2008

Japan Atomic Energy Agency

日本原子力研究開発機構

JAEA-Research

本レポートは日本原子力研究開発機構が不定期に発行する成果報告書です。  
本レポートの入手並びに著作権利用に関するお問い合わせは、下記あてにお問い合わせ下さい。  
なお、本レポートの全文は日本原子力研究開発機構ホームページ（<http://www.jaea.go.jp/index.shtml>）  
より発信されています。このほか財団法人原子力弘済会資料センター\*では実費による複写頒布を行つております。

〒319-1195 茨城県那珂郡東海村白方白根 2 番地 4  
日本原子力研究開発機構 研究技術情報部 研究技術情報課  
電話 029-282-6387, Fax 029-282-5920

\* 〒319-1195 茨城県那珂郡東海村白方白根 2 番地 4 日本原子力研究開発機構内

This report is issued irregularly by Japan Atomic Energy Agency  
Inquiries about availability and/or copyright of this report should be addressed to  
Intellectual Resources Section, Intellectual Resources Department,  
Japan Atomic Energy Agency  
2-4 Shirakata Shirane, Tokai-mura, Naka-gun, Ibaraki-ken 319-1195 Japan  
Tel +81-29-282-6387, Fax +81-29-282-5920

© Japan Atomic Energy Agency, 2008

ナトリウム冷却炉の炉心・燃料設計検討（MOX 燃料炉心）  
－2006 年度報告－

日本原子力研究開発機構  
次世代原子力システム研究開発部門  
設計統括ユニット  
小川 隆※、小林 登、大木 繁夫、永沼 正行、久保 重信\*、水野 朋保

(2007 年 11 月 26 日受理)

高速増殖炉サイクル実用化研究開発の主概念であるナトリウム冷却炉大型 MOX 燃料高内部転換型炉心についての 2006 年度の炉心・燃料設計に関する検討結果を報告する。設計検討の成果を以下に示す。

(1) MA 含有燃料を用いた炉心の検討

高速増殖炉サイクル実用化戦略調査研究フェーズⅡにおいて構築した大型 MOX 燃料高内部転換型炉心を基に、MA 含有率の高い ALWR 使用済燃料の TRU を用いた炉心を構築した。本検討では、燃料重金属中の MA 含有率を 3 wt% と暫定、従来概略評価にとどめていた熱特性及び燃料健全性の詳細評価を行い、設計成立の見通しを得た。

構築した炉心は、Pu 富化度が内側炉心 19.6 wt%、外側炉心 22.1 wt% であり、増殖比は約 1.1 である。取出平均燃焼度は炉心部が 146 GWd/t、ブランケット燃料を含む全炉心が 93 GWd/t であり、いずれも設計条件を満足している。ナトリウムボイド反応度は 5.9 \$ であり設計目安を満足、制御反応度収支は主炉停止系制御棒、後備炉停止系制御棒とともに十分な炉停止余裕を持って成立の見通しである。

炉心流量領域は、内側及び外側炉心がそれぞれ 4 領域、径方向ブランケットが 2 領域の合計 10 領域である。被覆管肉厚中心温度の最高は 700°C、燃料ピンバンドル部圧力損失の最大は 0.22 MPa であり設計条件を満足している。また、被覆管の CDF (通常運転時) は最大が 0.45 であり設計条件を満足している。

(2) ブランケットへの Pu 添加による核不拡散性向上炉心の検討

高速増殖炉の内的 (intrinsic) な核不拡散性を向上させる一方策として、ブランケット燃料に炉心燃料用の Pu (あるいは TRU) を予め添加することにより、ブランケットにおける Pu を常に原子炉級以下 ( $^{240}\text{Pu}$  同位体組成比で >18%) に保つ核不拡散性向上炉心を検討した。

---

本報告書には、電力会社 9 社、電源開発株式会社及び日本原子力発電株式会社による電力共通研究の成果の一部を含む。

大洗研究開発センター (駐在) : 〒311-1393 茨城県東茨城郡大洗町成田町 4002

\* 技術開発協力員

\* 日本原子力発電

上記(1)で構築した炉心を基に炉心設計検討を行い、ブランケットへの TRU 添加率を最大でも 5 wt% とすれば、軸方向ブランケット、径方向ブランケット共に、平均 Pu 組成を原子炉級に保つことができるを見出した。必要な炉心・燃料仕様の変更は、炉心平均比出力及び炉心部取出平均燃焼度の設計条件を満足させるための炉心高さの低減 (100→90 cm)、増殖比を 1.1 程度とするための軸方向ブランケットの伸長 (上下合わせて 35→55 cm) である。核特性、熱流力特性、被覆管 CDF について、いずれも設計条件を満足し、設計成立を見通すことのできることを確認した。

Study on Reactor Core and Fuel Design of Sodium Cooled Fast Reactor  
( Mixed Oxide Fuel Core )  
— Results in JFY2006 —

Takashi OGAWA<sup>\*\*</sup>, Noboru KOBAYASHI, Shigeo OHKI  
Masayuki NAGANUMA, Shigenobu KUBO<sup>\*</sup> and Tomoyasu MIZUNO

FBR Cycle System Design Synthesis Unit  
Advanced Nuclear System Research and Development Directorate  
Japan Atomic Energy Agency  
Oarai-machi, Higashiibaraki-gun, Ibaraki-ken

(Received November 26, 2007)

The sodium-cooled large-scale “high internal conversion (HIC) type” core with MOX fuel is the most promising core concept in “Fast Reactor Cycle Technology Development” in Japan.

Design study on reactor core and fuel in JFY2006 is reported. The results of the study are summarized as follows:

(1) Design study of the core with MOX fuel containing MA

Based on the large-scale HIC type core with MOX fuel in “Feasibility Study on Commercialized Fast Reactor Cycle Systems” Phase II, we have developed a core using TRU of high MA content which is recovered from ALWR spent fuel. MA content in the fuel heavy metal is temporarily assumed to be 3 wt%. We have confirmed the core design feasibility with the detailed evaluations of thermal hydraulic characteristics and fuel integrity. Those characteristics were evaluated preliminarily in the previous studies.

Plutonium enrichment of the core is 19.6 wt%, 22.1 wt% for inner and outer cores, respectively. Breeding ratio is about 1.1. Core average discharge burnup is 146 GWd/t. Total average discharge burnup (including blankets) is 93 GWd/t. Each of them meets the design condition. The sodium void reactivity of 5.9 \$ satisfies the safety requirement. Sufficient control reactivity balance can be foreseen for the primary and the backup systems with enough shutdown margins.

---

This report is the outcome of collaborative study between JAEA and JAPC (that is the representative of 9 electric utilities, Electric Power Development Company and JAPC) in the accordance with “The Agreement About The Development of A Commercialized Fast Breeder Reactor Cycle System”.

<sup>\*\*</sup> Collaborating Engineer

<sup>\*</sup> The Japan Atomic Power Company

The core has 10 coolant flow regions; 4 for inner and outer cores each and 2 for radial blanket. The maximum cladding inner-wall temperature is 700 °C, and the maximum pressure drop of fuel pin bundle is 0.22 MPa; those satisfy the design limits. The maximum cladding CDF value (for steady state) is 0.45, which also satisfies the design limit.

## (2) Design study of the nonproliferation core by adding Pu to the blankets

As one of the measures to enhance the intrinsic nonproliferation property of fast reactors, we have investigated the nonproliferation core that can keep the Pu in blankets to “Reactor Grade ( $^{240}\text{Pu}$  isotope abundance ratio > 18%)” with premixing Pu (or TRU) of core fuel to blanket fuel.

Based on the core developed in (1), we have performed core design study. It is found that the average Pu compositions for both axial and radial blankets can always be Reactor Grade, providing 5 wt% of TRU content in the blankets at a maximum. Necessary changes in core and fuel specifications are

- the reduction of core height (100→90 cm) in order to satisfy the design conditions for core average specific power and core average discharge burnup,
- the extension of axial blanket (35→55 cm: total of upper and lower ones) for the breeding ratio of about 1.1.

All of the core neutronic characteristics, the thermal-hydraulic characteristics, and the cladding CDF value satisfy the design limits and conditions, therefore we have confirmed the feasibility of the nonproliferation core design.

### **Keywords:**

Fast Reactor Cycle Technology Development, Sodium Cooled Fast Reactor, Mixed Oxide Fuel Core, Core and Fuel Design, Minor Actinide, Nuclear Nonproliferation

## 目 次

1. はじめに .....	1
2. MA含有燃料を用いた炉心の検討 .....	2
2.1 検討条件 .....	2
2.2 炉心・燃料仕様の検討 .....	3
2.3 炉心特性評価 .....	4
2.3.1 核特性評価 .....	4
2.3.2 热流力特性評価 .....	6
2.3.3 燃料健全性評価 .....	8
2.4 まとめ .....	9
3. ブランケットへのPu添加による核不拡散性向上炉心の検討.....	32
3.1 背景 .....	32
3.2 検討条件 .....	32
3.3 炉心特性評価 .....	35
3.3.1 核特性評価 .....	35
3.3.2 热流力特性・燃料健全性評価 .....	36
3.3.3 遮へい設計成立性の見通し .....	38
3.4 まとめ .....	40
4. おわりに .....	61
謝辞 .....	62
参考文献 .....	63

## Contents

1. Introduction .....	1
2. Design study of the core with MOX fuel containing MA .....	2
2.1 Design condition .....	2
2.2 Study of core and fuel specifications .....	3
2.3 Core characteristics evaluation .....	4
2.3.1 Core neutronic evaluation .....	4
2.3.2 Thermal hydraulic evaluation .....	6
2.3.3 Fuel integrity evaluation .....	8
2.4 Summary .....	9
3. Design study of the nonproliferation core by adding Pu to the blankets .....	32
3.1 Background .....	32
3.2 Design condition .....	32
3.3 Core characteristics evaluation .....	35
3.3.1 Core neutronic evaluation .....	35
3.3.2 Thermal hydraulic and fuel integrity evaluations .....	36
3.3.3 Shielding design prospect .....	38
3.4 Summary .....	40
4. Concluding remarks .....	61
Acknowledgement .....	62
References .....	63

## 表リスト

表 2-1	設計検討条件(FBR 導入期炉心) .....	10
表 2-2	核設計検討用軽水炉使用済燃料 TRU 組成 .....	11
表 2-3	炉心仕様のサーべイ計算結果 .....	12
表 2-4	炉心・燃料仕様 .....	13
表 2-5	主要核特性 .....	14
表 2-6	燃料インベントリ .....	15
表 2-7	制御棒価値 .....	17
表 2-8	制御反応度収支 .....	18
表 2-9	反応度特性（平衡サイクル末期 定格出力時） .....	19
表 2-10	温度係数（平衡サイクル末期 定格出力時） .....	19
表 2-11	動特性パラメータ（平衡サイクル末期） .....	20
表 2-12	炉心流量配分と熱流力特性及び被覆管 CDF .....	21
表 3-1	主要核特性 .....	41
表 3-2	燃料インベントリ [核不拡散性向上炉心] .....	42
表 3-3	制御棒価値 [核不拡散性向上炉心] .....	44
表 3-4	制御反応度収支 [核不拡散性向上炉心] .....	45
表 3-5	反応度特性（平衡サイクル末期 定格出力時） [核不拡散性向上炉心] .....	46
表 3-6	温度係数（平衡サイクル末期 定格出力時） [核不拡散性向上炉心] .....	47
表 3-7	動特性パラメータ（平衡サイクル末期） [核不拡散性向上炉心] .....	48
表 3-8	燃料仕様 [核不拡散性向上炉心] .....	49
表 3-9	炉心流量配分と熱流力特性及び被覆管 CDF [核不拡散性向上炉心] .....	50
表 3-10	径方向ブランケット外側での中性子束の比較（炉心中心高さ位置） .....	51
表 3-11	下部軸方向ブランケット下端での中性子束の比較 .....	51
表 3-12	上部軸方向ブランケット上端での中性子束の比較 .....	52

## 図リスト

図 2-1	炉心配置 .....	22
図 2-2	核設計検討用軽水炉使用済燃料 TRU 組成 .....	23
図 2-3	燃焼チェーン .....	24
図 2-4	炉心高さとナトリウムボイド反応度及びドップラ係数の関係 .....	25
図 2-5	炉心高さとナトリウムボイド反応度／ドップラ係数比の関係 .....	25
図 2-6	燃料交換パターン .....	26
図 2-7	制御棒価値が最小となるスタック制御棒位置 .....	27
図 2-8	燃料集合体必要最少流量の度数分布 .....	28
図 2-9	炉心流量領域区分 .....	29
図 2-10	CDF 評価対象燃料ピンの出力履歴 .....	30
図 2-11	燃料ピンの被覆管最高温度(肉厚中心)履歴 .....	31
図 3-1	ブランケットへの TRU 添加による取出 Pu 同位体組成の変化 .....	53
図 3-2	燃料集合体必要最少流量の度数分布 [核不拡散性向上炉心] .....	54
図 3-3	炉心流量領域区分 [核不拡散性向上炉心] .....	55
図 3-4	CDF 評価対象燃料ピンの出力履歴 [核不拡散性向上炉心] .....	56
図 3-5	燃料ピンの被覆管最高温度(肉厚中心)履歴 [核不拡散性向上炉心] .....	57
図 3-6	フェーズ II 代表炉心の炉心周り遮へい検討結果 .....	58
図 3-7	径方向高速中性子束分布の比較 (下部軸方向ブランケット下端、0.1MeV 以上) .....	59
図 3-8	径方向高速中性子束分布の比較 (上部軸方向ブランケット上端、0.1MeV 以上) .....	60

## 1. はじめに

高速増殖炉サイクル実用化研究開発（以下、FaCT と記す）の主概念であるナトリウム冷却炉大型 MOX 燃料高内部転換型炉心に関する設計検討として、本年度（2006 年度）は FaCT の設計要求として挙げられる「廃棄物管理性」と「核不拡散性」の炉心・燃料設計に係る対応について検討した。具体的には、高速増殖炉サイクル実用化戦略調査研究（以下、FS と記す）フェーズⅡにおいて構築したナトリウム冷却炉大型 MOX 燃料高内部転換型炉心を基に、「MA<sup>\*</sup>含有燃料を用いた炉心」と「ブランケットへの Pu 添加による核不拡散性向上炉心」の検討を行った。

---

\* MA: Minor Actinide (マイナーアクチニド) …原子量 89 から 103 までのアクチニド系列元素のうち、原子炉燃料の燃焼とともに生成される少量の元素群の総称。代表的な元素は、Np (ネプツニウム)、Am (アメリシウム)、Cm (キュリウム)。

## 2. MA 含有燃料を用いた炉心の検討

FS フェーズⅡにおいて構築した大型 MOX 燃料高内部転換型炉心を基に、MA 含有率の高い軽水炉使用済燃料の TRU<sup>1</sup> を用いた炉心の検討を行った。

### 2.1 検討条件

表 2-1 に、本検討に用いたプラント仕様、炉心・燃料基本仕様、燃料健全性及び安全設計に係る設計目安、他設計との取合条件、炉心性能の目標を示す。

表 2-1において、大型炉のプラント仕様に関する設計条件としては、炉心熱出力が 3,530 MWt、原子炉出口及び入口温度が 550°C 及び 395°C、一次冷却材流量が 18,000 kg/s である。

炉心・燃料の基本仕様は、FS フェーズⅡの大型高内部転換型炉心（FBR 導入期炉心）<sup>[1]</sup>と同一であり、燃料形態が MOX、炉心型式が均質 2 領域炉心、再臨界回避方策が改良内部ダクト型燃料集合体であり、炉心配置は図 2-1 に示すとおりである。

燃料の TRU は、ALWR<sup>2</sup> 使用済燃料から回収した TRU（ABWR/APWR 平均組成）であり、炉外時間は 40 年である<sup>[2]</sup>。この TRU 組成は、FBR 導入シナリオの検討結果を基に、安全性に係る反応度係数（ボイド反応度、ドップラ係数）への影響を包絡するものとして設定されている。燃料重金属の MA 含有率は 3 wt%、FP 混入率は 0.6 vol% を暫定した。

表 2-2 及び図 2-2 に本検討に用いた TRU 組成を示す。

炉心材料は被覆管が ODS 鋼、ラッパ管が PNC-FMS 鋼である。

設計目安としては、ULOF<sup>3</sup> 起因過程における即発臨界回避のための安全要求であるナトリウムボイド反応度 6 \$ 程度以下、炉心高さ 100 cm 程度以下、炉心平均比出力 40 kW/kg-MOX 程度以上と、燃料健全性確保のための条件である最大線出力 430 W/cm 以下、高速中性子照射量  $5 \times 10^{23}$  n/cm<sup>2</sup> 以下、被覆管最高温度（肉厚中心）700°C 以下、通常運転時の CDF<sup>4</sup> 0.5 以下がある。

燃料製造及びプラント設計との取合条件としては、燃料のスミア密度が炉心 82%、ブランケット 90%、燃料バンドル部の圧損が 0.2 MPa 程度以下であり、遮へい体外接円径は

<sup>1</sup> TRU: transuranic (超ウラン) の略。ウランよりも原子番号の大きい元素である Np, Pu, Am, Cm 等を指す。本研究では Pu と MA の総称として用いる。

<sup>2</sup> ALWR: Advanced Light Water Reactor …高燃焼度の新型軽水炉

<sup>3</sup> ULOF: Unprotected Loss of Flow …流量喪失型スクラム失敗事象

<sup>4</sup> CDF: Cumulative Damage Fraction …累積損傷和

6.8 m 以下となっている。

炉心性能の目標としては、増殖比が 1.1 程度、取出平均燃焼度は、炉心部が 150 GWd/t 程度であり、全炉心平均（プランケット燃料を含む）は 80 GWd/t 程度以上、運転サイクル長さは 18 ヶ月以上を暫定している。

## 2.2 炉心・燃料仕様の検討

FS では、高速炉多重リサイクル TRU 組成を設計標準として炉心・燃料の設計検討を行うとともに、MA 含有率の高い軽水炉使用済燃料回収 TRU の代表的な組成を用いた核特性への影響検討を行った。ここで、MA 含有率の高い TRU を用いることの核特性への影響としては、ナトリウムボイド反応度の増加、ドップラ係数の絶対値の減少及び実効遅発中性子割合の減少が挙げられ、その度合いによっては ULOF 時の SASS\* 有効性確保等に影響が及ぶことになる。このことから、ナトリウムボイド反応度及びドップラ係数の絶対値への影響が少ない炉心・燃料仕様を選定するために炉心高さをパラメータとしたサイベイ検討を行った。

### (1) 解析評価手法

炉心・燃料仕様の検討に用いた核特性解析評価手法を以下に示す。

#### (i) 炉定数

炉定数は、統合炉定数 ADJ2000R を用いた。

#### (ii) 燃焼・出力分布特性

燃焼・出力分布特性は、2 次元 RZ 体系 70 群の拡散・燃焼計算により求めた。なお、燃焼チェーンは燃料の MA 含有率が高いことに考慮した詳細モデル（図 2-3 参照）を用いた。平衡サイクルは、燃料交換バッチ数に 2 サイクル加えた最後のサイクルとし、Pu 富化度は、平衡サイクル末期において  $0.2\% \Delta k/kk'$  の運転余裕を確保するように設定した。また、最大線出力は、計算値に対してラッパ管の発熱（0.6%）を除き、燃料ペレットの軸方向伸び（1.2%）を考慮した値を評価値とした。

#### (iii) ナトリウムボイド反応度、ドップラ係数及び動特性パラメータ

ナトリウムボイド反応度及びドップラ係数は、前記(ii)項の平衡サイクル末期を対象に 2 次元 RZ 体系 70 群の拡散計算により求めた。なお、ナトリウムボイド反応度は、非均質効果 0.87 と輸送・メッシュ効果 0.99 を補正した値を評価値とし、ド

---

\* SASS: Self Actuated Shutdown System (自己作動型炉停止機構)

ドップラ係数は、非均質効果 1.05 を補正した値を評価値とした。遅発中性子割合は 70 群の摂動計算により求めた。

## (2) 検討結果

表 2-3 に、炉心高さをパラメータとした核特性解析結果を示す。炉心高さは FS フェーズⅡの代表炉心と同じ 100 cm を基準として、90 cm 及び 80 cm に短縮した 3 ケースとした。炉心高さ 100 cm 及び 90 cm のケースは燃料ピン径が 10.4 mm、集合体の燃料ピン本数が 255 本であり、炉心高さ 80 cm のケースは最大線出力が設計目安を満足するように、集合体の燃料ピン本数を 315 本とし、燃料ピン径を 9.3 mm としている。

図 2-4 に、炉心高さとナトリウムボイド反応度及びドップラ係数の関係を示す。図 2-4において、炉心高さを 100 cm、90 cm 及び 80 cm としたケースのナトリウムボイド反応度は何れも設計目安である 6 \$ 程度以下を満足している。また、炉心高さを 80 cm と 90 cm としたケースのナトリウムボイド反応度は同等であり、炉心高さを 100 cm としたケースより約 0.2 \$ 低い値となっている。ドップラ係数の絶対値は、炉心高さを 100 cm としたケースが最も大きく炉心高さの短縮に伴い減少している。

図 2-5 に、ナトリウムボイド反応度とドップラ係数の比を ULOF 時の SASS 有効性確保に対する優劣の指標として、炉心高さとの関係を示す。図 2-5において、炉心高さを 100 cm と 90 cm としたケースのナトリウムボイド反応度とドップラ係数の比の絶対値はほぼ同等であり、炉心高さを 80 cm としたケースより約 8% 低く ULOF 時の SASS 有効性確保に有利なものとなっている。ここで、炉心高さを 100 cm と 90 cm としたケースの燃焼特性を比較すると、炉心高さを 100 cm としたケースは 90 cm としたケースに比較して運転サイクル長さが長く、ブランケット燃料を含む全炉心燃焼度が高く、燃焼反応度が小さい特性を示している。このことから、炉心・燃料仕様として、炉心高さ 100 cm、燃料ピン径 10.4 mm を選択することとした。

表 2-4 に、選定した炉心の基本仕様と炉心及び径方向ブランケット燃料集合体の主要仕様を示す。

## 2.3 炉心特性評価

### 2.3.1 核特性評価

前記 2.2 項で選定した炉心・燃料仕様を基に、燃焼特性、出力分布、制御反応度収支、

反応度係数等を評価した。

### (1) 解析評価手法

#### (i) 炉定数

炉定数は、統合炉定数 ADJ2000R を用いた。

#### (ii) 燃焼及び出力分布特性

Pu 富化度の設定及び燃焼反応度、増殖比等の燃焼特性解析は 3 次元三角コーナ メッシュ体系 7 群の拡散・燃焼計算により行った。燃焼チェーンは燃料の MA 含有率が高いことに考慮した詳細モデル（図 2-3 参照）を用いた。

Pu 富化度は、平衡サイクル末期において  $0.2\% \Delta k/kk'$  の運転余裕を確保するよう に設定した。

燃焼計算は、燃料交換バッチ数の 2 倍のサイクル数について行い後半を平衡サイ クルとした。なお、最大線出力は、計算で得られた値に対して、ラッパ管の発熱 (0.6%) を除き、燃料ペレットの軸方向伸び (1.2%) を考慮して評価した。

#### (iii) 制御棒価値

制御棒価値は、上記(ii)項の 3 次元燃焼計算における平衡サイクル初期で評価し た。制御棒価値は、解析値に対して群縮約効果 0.97、非均質効果 0.89、輸送効果 0.96、メッシュ効果 0.93 を補正した値をノミナルとし、不確かさ 9% ( $3\sigma$ ) を考慮 した値を評価値とした。

#### (iv) 反応度係数及び動特性パラメータ

ナトリウムボイド反応度及びドップラ係数は、前記(ii)項で求めた平衡サイクル 末期の燃料組成を基に、ナトリウムボイド反応度は厳密摂動計算、ドップラ係数は 1 次摂動計算により求めた。また、ナトリウムボイド反応度は、非均質効果 0.87 と輸送・メッシュ効果 0.99 を補正した値を評価値とし、ドップラ係数は、非均質効果 1.05 を補正した値を評価値とした。遅発中性子割合は 70 群の摂動計算により求 めた。

### (2) 評価結果

#### (i) 主要核特性

表 2-5 及び表 2-6 に主要核特性及び燃料インベントリを示し、図 2-6 には燃焼計 算に用いた燃料交換パターンを示す。

Pu 富化度は、内側炉心が 19.6 wt%、外側炉心が 22.1 wt% であり、燃焼反応度は

1.8%  $\Delta k/k'$ である。増殖比は 1.097 であり、表 2-6 の燃料インベントリを基に求めた原子炉倍増時間は 75 年、複合システム倍増時間は 85 年である。

最大線出力は内側炉心が 411 W/cm、外側炉心が 395 W/cm、取出平均燃焼度は炉心部が 146 GWd/t、ブランケット燃料を含む全炉心が 93 GWd/t、高速中性子照射量は  $5.0 \times 10^{23} \text{ n/cm}^2 \cdot \text{s}$  であり、いずれも設計条件を満足している。

ナトリウムボイド反応度は 5.9 \$ であり設計目安の 6 \$ 程度以下を満足している。

また、ドップラ係数は  $-4.5 \times 10^{-3} \text{ Tdk/dT}$  である。

#### (ii) 制御棒価値及び制御反応度収支

表 2-7 に制御棒価値を示し、表 2-8 には制御反応度収支を示す。表 2-8において、主炉停止系制御棒、後備炉停止系制御棒ともに十分な炉停止余裕を有している。なお、図 2-7 には、ワンロッドスタック時の制御棒価値が最小になるスタック制御棒位置を示す。

#### (iii) 反応度及び動特性パラメータ

表 2-9 に、平衡サイクル末期における内側炉心及び外側炉心のナトリウムボイド反応度、ドップラ係数、密度係数及び形状係数を示し、表 2-10 には、温度係数を示す。

表 2-11 に、動特性パラメータ（実効遅発中性子割合、遅発中性子先行核の崩壊定数、即発中性子寿命）を示す。

### 2.3.2 热流力特性評価

前記 2.2 項で選定した炉心・燃料仕様と前記 2.3.1 項で評価した出力分布を基に、炉心流量配分領域区分を設定し、燃料集合体の熱流力特性を評価した。

#### (1) 評価条件

##### (i) 設計条件

炉心流量配分設定に係る設計条件を以下に示す。

- ・被覆管肉厚中心温度 700°C 以下
- ・燃料ピンバンドル部圧力損失 0.2 MPa 程度以下

##### (ii) 炉心及び径方向ブランケットへの配分流量

炉心及び径方向ブランケット燃料、制御棒、径方向遮へい体への配分流量とリーグ流量は下記のとおりとした。

- ・炉心及び径方向ブランケット燃料 ・・・ 95.5 %
- ・制御棒及び径方向遮へい体 ・・・ 2.5 %
- ・リーク流量 ・・・ 2.0 %

(iii) 出力分布

燃料集合体出力は、前記 2.3.1 項で求めた 3 次元出力分布を用い、燃料ピン出力は、集合体内出力分布の低出力側コーナ部に内部ダクトが存在するものとして評価した値を用いた。なお、径方向ブランケット燃料集合体については、ガンマ線発熱効果としてファクタ 1.09 を乗じた積分出力を用いた。

(2) 評価方法

(i) 被覆管最高温度

被覆管最高温度は、集合体の周辺流れ効果を考慮した単ピン伝熱解析によりノミナル値を求め、工学的安全係数を用いてホットスポット値を評価した。  
評価に用いた周辺流れ効果係数と工学的安全係数を以下に示す。

(a) 周辺流れ効果係数

燃料集合体の周辺流れ効果係数は、2004 年度の集合体内熱流動特性評価結果<sup>[3]</sup>に基づく下記の値を用いた。

- ・炉心燃料集合体 1.12
- ・径方向ブランケット燃料集合体 1.13

(b) 工学的安全係数

燃料集合体の被覆管ホットスポット温度評価に用いる工学的安全係数は、電力実証炉の設計に適用した下記の値を用いた。

- ・炉心燃料集合体 1.26
- ・径方向ブランケット燃料集合体 1.37

(ii) 燃料ピンバンドル部圧力損失

燃料ピンバンドル部圧力損失は、2004 年度の集合体内熱流動特性評価結果<sup>[3]</sup>に基づく近似式を用いて算定した。

(3) 評価結果

(i) 炉心流量領域区分

図 2-8 に、被覆管肉厚中心最高温度を 700°C とするための集合体必要最少流量の度数分布を内側炉心、外側炉心及び径方向ブランケット燃料の領域毎に示す。図 2-8

の集合体必要最少流量の度数分布を基に、炉心・径方向プランケット燃料への配分流量の低減と流量領域区分の対称性を考慮して流量流域区分を設定した。図 2-9 に、設定した炉心流量領域区分を示す。炉心流量領域は、内側及び外側炉心がそれぞれ 4 領域、径方向プランケットが 2 領域である。

#### (ii) 炉心流量配分及び熱流力特性

表 2-12 に、炉心各流量領域の燃料集合体流量、領域流量、被覆管最高温度及び燃料ピンバンドル部圧力損失を示す。なお、内側炉心の第 1 から第 3 流量領域の燃料集合体流量は、後述の被覆管の CDF を抑制するために被覆管肉厚中心最高温度を 690°C とするように設定し、それ以外の領域の燃料集合体流量は、被覆管肉厚中心最高温度を 700°C とするように設定した。

表 2-12 において、被覆管肉厚中心最高温度及び燃料ピンバンドル部圧力損失の最大は 700°C 及び 0.22 MPa であり設計条件を満足している。また、炉心及び径方向プランケット燃料への流量は 16,756 kg/s (1 次系冷却材流量の 93.1%) であり、炉心に配分可能な流量 95.5% に対して 2.4% の余裕を有している。

### 2.3.3 燃料健全性評価

前記 2.2 項で選定した燃料仕様と前記 2.3.1 項及び 2.3.2 項で評価した燃料ピン出力及び被覆管温度の履歴を基に、燃料健全性に係る主要評価項目である被覆管の CDF を評価した。

#### (1) 評価条件

##### (i) 設計条件

$$\text{CDF} : 0.5 \text{ 以下 (通常運転時)}$$

##### (ii) 燃料ピン出力及び被覆管温度履歴

図 2-10 及び図 2-11 に、CDF 評価対象とした燃料ピンの出力及び被覆管肉厚中心温度履歴を示す。

#### (2) 評価方法

被覆管の CDF は、統計処理を適用した手法で評価した。評価に用いた被覆管の材料強度式は以下のとおりである。

- ・クリープ強度：ODS 鋼クリープ破断強度式<sup>[4]</sup>
- ・内面腐食式：ODS 鋼暫定評価式<sup>[4]</sup>

- ・外面腐食式：ODS 鋼暫定評価式<sup>[4]</sup>

### (3) 評価結果

表 2-12 に、被覆管の CDF（通常運転時）評価結果を示す。表 2-12において、CDF の最大は内側炉心が 0.45、外側炉心が 0.06 であり、いずれも設計条件（0.5 以下）を満足している。

## 2.4 まとめ

FS フェーズⅡにおいて構築した大型 MOX 燃料高内部転換型炉心を基に、MA 含有率の高い ALWR 使用済燃料の TRU を用いた炉心の検討を行った。本検討では、燃料重金属の MA 含有率を 3 wt%と暫定し、炉心高さ及び燃料ピン径をパラメータとした核特性評価に基づく炉心・燃料仕様の選定、選定炉心の核・熱特性及び燃料健全性評価を行った。炉心・燃料仕様の FS フェーズⅡの大型 MOX 燃料高内部転換型炉心からの変更は、MA 含有率の増加に伴う増殖性能の向上に対応した上部軸方向ブランケットの 5 cm 短縮と He ガス生成量の増加に対応したと下部ガスプレナム長さの 5 cm 伸長のみである。

選定炉心は、Pu 富化度が内側炉心が 19.6 wt%、外側炉心が 22.1 wt%であり、増殖比が約 1.1 である。取出平均燃焼度は炉心部が 146 GWd/t、ブランケット燃料を含む全炉心が 93 GWd/t、高速中性子照射量は  $5.0 \times 10^{23} \text{ n/cm}^2 \cdot \text{s}$  であり、いずれも設計条件を満足している。最大線出力は内側炉心が 411 W/cm、外側炉心が 395 W/cm、ナトリウムボイド反応度は 5.9 \$であり設計目安を満足している。また、制御反応度収支は主炉停止系制御棒、後備炉停止系制御棒とともに十分な炉停止余裕を持って成立の見通しである。

炉心流量領域は、内側及び外側炉心がそれぞれ 4 領域、径方向ブランケットが 2 領域の合計 10 領域である。被覆管肉厚中心温度の最高は 700°C、燃料ピンバンドル部圧力損失の最大は 0.22 MPa であり設計条件を満足している。また、炉心及び径方向ブランケット燃料への流量は 16,756 kg/s（1 次系冷却材流量の 93.1%）であり、炉心に配分可能な流量 95.5%に対して 2.4%の余裕を有している。

被覆管の CDF（通常運転時）は内側炉心の最大が 0.45、外側炉心の最大が 0.06 であり、いずれも設計条件を満足している。

表 2-1 設計検討条件 (FBR 導入期炉心)

項目		フェーズ II 代表炉心	本検討
プラント仕様	電気出力	1,500MWe	←
	炉心熱出力	3,570MWt	3,530MWt
	原子炉出口/入口温度	550 / 395 °C	←
	1 次系流量	18,200kg/s	18,000kg/s
炉心・燃料基本仕様	燃料形態	MOX	←
	炉心型式	均質 2 領域	←
	再臨界回避方策	改良内部ダクト型集合体	←
	炉心配置	図2-1 * 1	←
	集合体配列ピッチ	206.0mm	←
	遮へい体外接円径	6.77m	←
	燃料	TRU組成	軽水炉使用済燃料TRU (表2-2, 図2-2参照)
		MA含有率	3 wt%HM 【暫定】
		FP混入率	0.2Vol%
	炉心材料 * 2	被覆管	ODS鋼
		ラッパ管	PNC-FMS鋼
設計目安	安全要求	ナトリウムボド反応度	6 \$ 程度 以下 * 3
		炉心高さ	100cm程度 以下 * 3
		炉心平均比出力	40kW/kg-MOX程度 以上 * 3
	燃料健全性	最大線出力	430W/cm程度 以下
		高速中性子照射量 * 4	5 × 10 <sup>23</sup> n/cm <sup>2</sup> 以下
		被覆管最高温度 [肉厚中心]	700°C 以下
		CDF [通常運転時]	0.5 以下
取合条件	燃料スミア密度	炉心	82%TD
		ブランケット	90%TD
	燃料パンドル部圧損		0.2MPa程度 以下
	遮へい体外接円径		6.8m 以下
	制御棒、SASS配置		切込み付きUIS対応
炉心性能目標	増殖比		1.1 程度
	取出平均燃焼度	炉心部	150GWd/t 程度
		全炉心 * 5	60GWd/t 程度以上 80GWd/t 程度以上 【暫定】
	運転サイクル長さ		18ヶ月 以上 18ヶ月 程度以上 【暫定】

\* 1 切込み付きUIS対応制御棒、SASS配置

\* 2 炉心材料組成 [炉心燃料設計用] (wt%) : Fe/Cr/Ni/Mo/Mn/W = 85.5/11.0/0.4/0.5/0.6/2.0

\* 3 炉心損傷事象の起因過程における即発臨界回避

\* 4 E &gt; 0.1MeV

\* 5 ブランケット燃料を含む全炉心取出平均燃焼度

表 2-2 核設計検討用軽水炉使用済燃料 TRU 組成

核種		組成 (wt%)
Pu, Np	Pu-238	2.8
	Pu-239	50.0
	Pu-240	27.3
	Pu-241	1.8
	Pu-242	9.2
	Np-237	8.9
	合計	100.0
Am, Cm	Am-241	83.4
	Am-242m	0.1
	Am-243	14.9
	Cm-244	1.2
	Cm-245	0.4
	合計	100.0

表 2-3 炉心仕様のサーベイ計算結果

項 目	単位	FS フェーズ II 代表炉心 高速炉多重 サイクルTRU	軽水炉使用済燃料TRU		
			255ビントル		315ビントル
			炉心高さ 100cm	炉心高さ 90cm	炉心高さ 80cm
炉心基本仕様	炉心熱出力	MWt	3,570	3,530	←
	運転サイクル長さ	ヶ月	26.3	←	24.0 21.4
	燃交バッチ数(炉心/径プランケット)	—	4/4	←	← 4/4
	炉心高さ	cm	100	←	90 80
	軸プランケット厚さ(上部/下部)	cm	20/20	15/20	20/20 20/25
	炉心燃料ピン径	mm	10.4	←	← 9.3
	炉心燃料集合体ピン本数	本	255	←	← 315
	炉心燃料体数(内側/外側/合計)	体	288/274/562	←	← ←
	径方向プランケット燃料体数	体	96	←	← ←
	制御棒本数(主系/後備系/合計)	本	57(40/17)	←	← ←
	径方向遮へい体数(ステンレス鋼/Zr-H)	体	102/108	←	← ←
	炉心等価直徑	m	5.38	←	← ←
	遮へい体外接円径	m	6.77	←	← ←
	炉心部体積比	燃料 %	43.9	←	← 43.3
		構造材 %	25.8	←	← 25.8
		冷却材 %	30.3	←	← 30.9
		(ビントル部) %	( 22.0 )	←	← ( 23.5 )
核特性	Pu富化度[Pu/HM](内側/外側)	wt%	18.5/21.0	19.5/22.1	20.5/23.2 22.2/25.0
	MA含有率[MA/HM](内側/外側)	wt%	0.9/1.0	3.0/3.0	3.0/3.0 3.0/3.0
	燃焼反応度	% Δk/kk'	2.5	1.7	2.0 2.5
	増殖比(サイクル平均)	—	1.10	1.10	1.11 1.10
	出力分担率(炉心/軸プランケット/径プランケット)	%	92.9/5.7/1.5	93.4/5.2/1.4	92.4/6.2/1.4 91.1/7.5/1.4
	最大高速中性子束(E > 0.1MeV)	×10 <sup>15</sup> n/cm <sup>2</sup> ·s	1.8	1.8	1.9 2.0
	最大高速中性子照射量(E > 0.1MeV)	×10 <sup>23</sup> n/cm <sup>2</sup>	5.0	5.0	4.8 4.6
	最大線出力 <sup>*1</sup> (内側/外側)	W/cm	406/392	404/386	438/422 408/418
	取出平均燃焼度	炉心 GWd/t	148	147	148 148
		全炉心 <sup>*2</sup> GWd/t	90	93	88 82
	炉心平均比出力	kW/kg-MOX	41	41	51 50
	初装荷Pu-f重量	t/GWe	5.8	5.6	5.3 5.0
	原子炉倍増時間	年	67	70	58 63
	複合システム倍増時間 <sup>*3</sup>	年	76	79	71 77
	ナトリウムボイド反応度 <sup>*4</sup>	\$	5.0	5.7	5.5 5.5
	ドップラ係数	Tdk/dT	-5.7E-03	-4.5E-03	-4.3E-03 -4.0E-03
	実効遅発中性子割合	—	3.31E-03	3.18E-03	3.18E-03 3.17E-03

<sup>\*1</sup> ラッパ管発熱(0.6%)、燃料膨張効果(1.2%)を考慮<sup>\*2</sup> プランケット燃料を含む燃焼度<sup>\*3</sup> 燃料交換・定検期間=45日、冷却期間5年<sup>\*4</sup> ラッパ管間ギャップ及び内部ダクト内の冷却材は非ボイド

表 2-4 炉心・燃料仕様

項目	フェーズⅡ代表炉心 (高速炉多重リサイクルTRU)	本検討 (軽水炉使用済燃料TRU)
炉心熱出力 (MWt)	3,570	3,530
炉心型式	均質2領域炉心	←
再臨界回避方策	改良内部ダクト型集合体	←
運転サイクル長さ (ヶ月)	26.3 [800日]	←
燃料交換バッチ数 [炉心/径方向ブランケット]	4 / 4	←
炉心材料 [被覆管/ラッパ管]	ODS鋼 / PNC-FMS鋼	←
炉心等価直径 (cm)	538	←
遮へい体外接円径 (m)	6.77	←
炉心燃料集合体数 [内側炉心/外側炉心/合計]	288 / 274 / 562	←
径方向ブランケット燃料集合体数	96	←
制御棒本数 [主炉停止系/後備炉停止系]	40 / 17	←
径方向遮へい体数 [ステンレス鋼/Zr-H]	102 / 108	←
集合体配列ピッチ (mm)	206.0	←
炉心燃料集合体	燃料形態	MOX (ペレット型)
	燃料スタック長さ (mm) 炉心	1,000
	ブランケット[上部/下部]	200 / 200
	燃料ピッソ外径 (mm)	10.4
	被覆管肉厚 (mm)	0.71
	燃料スマ密度 [炉心/軸ブランケット] (%TD)	82 / 90
	スペーサワイヤ径 (mm)	1.03
	カースフルネム長さ [上部/下部] (mm)	100 / 1,100
	燃料ピッソ全長 (mm)	2,690
	燃料ピッソ本数	255
	燃料ピッソ配列ピッソ (mm)	11.48
	内部ダクト外面辺の長さ (mm)	46.0
	内部ダクト肉厚 (mm)	2.0
燃料仕様	ラッパ管外対面間距離 (mm)	201.6
	ラッパ管肉厚 (mm)	5.0
	燃料	43.9
	構造材	25.8
	冷却材	30.3
径方向 ブランケット 燃料集合体	[ヒンバントル部*]	[ 22.0 ]
	燃料形態	UO <sub>2</sub> (ペレット型)
	燃料スタック長さ (mm)	1,400
	燃料ピッソ外径 (mm)	11.7
	被覆管肉厚 (mm)	0.42
	燃料スマ密度 (%TD)	90
	スペーサワイヤ径 (mm)	1.07
	カースフルネム長さ [上部/下部] (mm)	100 / 1,100
	燃料ピッソ全長 (mm)	2,690
	燃料ピッソ本数	217
	燃料ピッソ配列ピッソ (mm)	12.82
	ラッパ管外対面間距離 (mm)	201.6
	ラッパ管肉厚 (mm)	5.0

\* 内部ダクト内、ラッパ管間ギャップ部の冷却材を除く

表 2-5 主要核特性

項目	核特性	
炉心熱出力 (MWt)	3,530	
運転サイクル長さ (ヶ月)	26.3 [ 800日 ]	
燃料交換バッチ数 [炉心/径方向ブランケット]	4 / 4	
Pu富化度 [Pu/HM] (wt%)	内側炉心	19.6
	外側炉心	22.1
MA含有率 [MA/HM] (wt%)	内側炉心	3.0
	外側炉心	3.0
	平均	3.0
燃焼反応度 (%Δk/kk')	1.8	
増殖比	炉心	0.84
	軸方向ブランケット	0.19
	径方向ブランケット	0.07
	合計	1.10
最大線出力 <sup>1</sup> (W/cm)	内側炉心	411
	外側炉心	395
取出平均燃焼度 (GWd/t)	炉心	146
	軸方向ブランケット	24
	径方向ブランケット	8
	全炉心 <sup>2</sup>	93
炉心平均比出力 (kW/kg-MOX)	40	
出力分担率	炉心	0.925
	軸方向ブランケット	0.059
	径方向ブランケット	0.016
最大高速中性子束 [E > 0.1 MeV] (n/cm <sup>2</sup> ·s)	1.8E+15	
最大高速中性子照射量 [E > 0.1 MeV] (n/cm <sup>2</sup> )	5.0E+23	
初装荷Pu-f インベントリ (t/GWe)	5.7	
原子炉倍増時間 (年)	75	
複合システム倍増時間 <sup>3</sup> (年)	85	
ナトリウムボイド反応度 <sup>4</sup> * <sup>5</sup> [EOEC] (\$)	5.9	
トッピング係数 <sup>5</sup> [EOEC] (Tdkg/dT)	-4.5E-03	
実効遅発中性子割合	0.00318	

<sup>1</sup> ラッパ管発熱(0.6%)、燃料膨張効果(1.2%)を考慮<sup>2</sup> ブランケット燃料を含む燃焼度<sup>3</sup> 燃料交換・定検期間=45日、冷却期間5年<sup>4</sup> ラッパ管間ギャップ及び内部ダクト内の冷却材は非ボイド<sup>5</sup> 3次元3角メッシュ体系7群燃焼計算の組成を使用

表 2-6 燃料インベントリ(1/2)

ELEMENT	装荷燃料、1 パッチ当たりの重量[kg]		軸ブラ 径ブラ	炉心合計	Pu富化度 [Pu/HM]	内側炉心 0.196	外側炉心 0.221	合計
	内側炉心	外側炉心			ブラン合計			
U234	0.0	0.0	0.0	0.0	0.0	0.0	0.0	0.0
U235	21.3	19.6	20.7	17.0	40.9	37.7	78.6	
U236	0.0	0.0	0.0	0.0	0.0	0.0	0.0	0.0
U238	7066.7	6517.4	6877.8	5656.7	13584.1	12534.5	26118.6	
Np237	175.8	188.3	0.0	0.0	364.1	0.0	364.1	
Pu238	55.3	59.2	0.0	0.0	114.6	0.0	114.6	
Pu239	987.6	1058.0	0.0	0.0	2045.6	0.0	2045.6	
Pu240	539.3	577.7	0.0	0.0	1116.9	0.0	1116.9	
Pu241	35.6	38.1	0.0	0.0	73.6	0.0	73.6	
Pu242	181.7	194.7	0.0	0.0	376.4	0.0	376.4	
Am241	82.6	61.3	0.0	0.0	143.9	0.0	143.9	
Am242m	0.1	0.1	0.0	0.0	0.2	0.0	0.2	
Am243	14.8	10.9	0.0	0.0	25.7	0.0	25.7	
Cm242	0.0	0.0	0.0	0.0	0.0	0.0	0.0	
Cm243	0.0	0.0	0.0	0.0	0.0	0.0	0.0	
Cm244	1.2	0.9	0.0	0.0	2.1	0.0	2.1	
Cm245	0.4	0.3	0.0	0.0	0.7	0.0	0.7	
Cm246	0.0	0.0	0.0	0.0	0.0	0.0	0.0	
U合計	7088.0	6537.0	6898.4	5673.7	13625.0	12572.2	26197.1	
Np合計	175.8	188.3	0.0	0.0	364.1	0.0	364.1	
Pu合計	1799.5	1927.7	0.0	0.0	3727.2	0.0	3727.2	
Am合計	97.5	72.3	0.0	0.0	169.8	0.0	169.8	
Cm合計	1.6	1.2	0.0	0.0	2.8	0.0	2.8	
HM合計	9162.3	8726.4	6898.4	5673.7	17888.8	12572.2	30461.0	
ラジオ化FP	0.0	0.0	0.0	0.0	0.0	0.0	0.0	
随伴FP	35.3	33.6	0.0	0.0	68.9	0.0	68.9	
FP合計	35.3	33.6	0.0	0.0	68.9	0.0	68.9	

ELEMENT	取出燃料、1 パッチ当たりの重量[kg]		軸ブラ 径ブラ	炉心合計	Pu富化度 [Pu/HM]	内側炉心 0.219	外側炉心 0.229	合計
	内側炉心	外側炉心			ブラン合計			
U234	4.7	5.0	0.0	0.0	9.6	0.0	9.6	
U235	5.1	8.0	10.7	12.3	13.2	23.1	36.2	
U236	3.4	2.8	2.2	1.1	6.2	3.3	9.4	
U238	5704.0	5696.0	6335.8	5448.5	11400.0	11784.3	23184.2	
Np237	53.2	89.0	0.8	0.3	142.2	1.2	143.3	
Pu238	90.2	95.3	0.3	0.1	185.5	0.3	185.8	
Pu239	830.2	875.5	351.5	163.1	1705.7	514.5	2220.2	
Pu240	516.8	553.0	39.7	8.5	1069.8	48.2	1118.0	
Pu241	76.0	68.4	2.9	0.3	144.4	3.3	147.7	
Pu242	135.0	157.7	0.2	0.0	292.6	0.2	292.8	
Am241	38.4	44.4	0.3	0.0	82.8	0.3	83.2	
Am242m	3.0	2.5	0.0	0.0	5.6	0.0	5.6	
Am243	33.4	29.1	0.0	0.0	62.5	0.0	62.5	
Cm242	2.2	1.5	0.0	0.0	3.7	0.0	3.7	
Cm243	0.3	0.2	0.0	0.0	0.5	0.0	0.5	
Cm244	18.3	10.6	0.0	0.0	28.8	0.0	28.8	
Cm245	2.6	1.2	0.0	0.0	3.8	0.0	3.8	
Cm246	0.2	0.1	0.0	0.0	0.3	0.0	0.3	
U合計	5717.2	5711.8	6348.7	5461.9	11428.9	11810.6	23239.5	
Np合計	53.2	89.0	0.8	0.3	142.2	1.2	143.3	
Pu合計	1648.1	1750.0	394.6	172.0	3398.1	566.5	3964.6	
Am合計	74.8	76.1	0.3	0.0	150.9	0.4	151.3	
Cm合計	23.6	13.5	0.0	0.0	37.1	0.0	37.1	
HM合計	7516.8	7640.3	6744.4	5634.2	15157.1	12378.7	27535.8	
ラジオ化FP	1645.5	1086.1	154.0	39.5	2731.7	193.5	2925.2	
随伴FP	35.3	33.6	0.0	0.0	68.9	0.0	68.9	
FP合計	1680.8	1119.7	154.0	39.5	2800.6	193.5	2994.1	

表 2-6 燃料インベントリ(2/2)

平衡サイクル初期、重量[kg]

Pu富化度  
[Pu/HM]  
0.207 0.225

ELEMENT	内側炉心	外側炉心	軸プラ	径プラ	炉心合計	プラ合計	合計
U234	7.2	7.3	0.0	0.0	14.5	0.0	14.5
U235	52.6	57.0	65.4	60.5	109.5	125.9	235.4
U236	7.2	5.2	4.0	1.8	12.3	5.8	18.2
U238	26121.7	24798.1	26681.1	22313.9	50919.7	48995.0	99914.7
Np237	469.7	577.5	1.3	0.5	1047.2	1.8	1049.0
Pu238	330.0	321.5	0.2	0.0	651.5	0.3	651.8
Pu239	3713.8	3927.9	624.6	264.1	7641.7	888.7	8530.4
Pu240	2133.6	2281.3	41.1	8.0	4414.9	49.1	4464.1
Pu241	233.7	215.8	2.1	0.2	449.5	2.4	451.9
Pu242	647.9	717.9	0.1	0.0	1365.8	0.1	1365.9
Am241	241.0	211.2	0.2	0.0	452.1	0.2	452.3
Am242m	8.6	5.7	0.0	0.0	14.3	0.0	14.3
Am243	98.1	77.5	0.0	0.0	175.6	0.0	175.6
Cm242	9.2	5.2	0.0	0.0	14.4	0.0	14.4
Cm243	0.9	0.3	0.0	0.0	1.2	0.0	1.2
Cm244	30.8	17.0	0.0	0.0	47.8	0.0	47.8
Cm245	3.8	2.0	0.0	0.0	5.7	0.0	5.7
Cm246	0.2	0.1	0.0	0.0	0.3	0.0	0.3
U合計	26188.6	24867.5	26750.5	22376.2	51056.1	49126.7	100182.7
Np合計	469.7	577.5	1.3	0.5	1047.2	1.8	1049.0
Pu合計	7059.0	7464.5	668.1	272.4	14523.5	940.6	15464.1
Am合計	347.7	294.4	0.2	0.0	642.0	0.2	642.2
Cm合計	44.9	24.6	0.0	0.0	69.5	0.0	69.5
HM合計	34109.8	33228.5	27420.1	22649.1	67338.3	50069.2	117407.5
ラジオ化FP	2539.6	1677.3	173.7	45.8	4216.9	219.5	4436.4
隨伴FP	141.3	134.4	0.0	0.0	275.6	0.0	275.6
FP合計	2680.8	1811.7	173.7	45.8	4492.5	219.5	4712.0

平衡サイクル末期、重量[kg]

Pu富化度  
[Pu/HM]  
0.213 0.227

ELEMENT	内側炉心	外側炉心	軸プラ	径プラ	炉心合計	プラ合計	合計
U234	11.9	12.2	0.0	0.0	24.1	0.0	24.1
U235	36.4	45.4	55.4	55.8	81.8	111.2	193.1
U236	10.6	7.9	6.2	2.9	18.5	9.1	27.6
U238	24758.9	23976.7	26139.2	22105.6	48735.6	48244.8	96980.4
Np237	347.0	478.2	2.1	0.9	825.3	2.9	828.2
Pu238	364.9	357.6	0.5	0.1	722.5	0.6	723.1
Pu239	3556.3	3745.4	976.1	427.2	7301.8	1403.2	8705.0
Pu240	2111.1	2256.7	80.8	16.5	4367.8	97.4	4465.2
Pu241	274.2	246.1	5.1	0.5	520.3	5.6	525.9
Pu242	601.1	681.0	0.3	0.0	1282.1	0.3	1282.4
Am241	196.7	194.3	0.5	0.1	391.1	0.5	391.6
Am242m	11.5	8.1	0.0	0.0	19.7	0.0	19.7
Am243	116.7	95.7	0.0	0.0	212.4	0.0	212.4
Cm242	11.4	6.7	0.0	0.0	18.1	0.0	18.1
Cm243	1.2	0.5	0.0	0.0	1.7	0.0	1.7
Cm244	47.8	26.7	0.0	0.0	74.5	0.0	74.5
Cm245	6.0	2.9	0.0	0.0	8.8	0.0	8.8
Cm246	0.5	0.2	0.0	0.0	0.6	0.0	0.6
U合計	24817.8	24042.2	26200.8	22164.4	48860.0	48365.1	97225.1
Np合計	347.0	478.2	2.1	0.9	825.3	2.9	828.2
Pu合計	6907.6	7286.8	1062.7	444.4	14194.4	1507.1	15701.5
Am合計	325.0	298.2	0.5	0.1	623.2	0.5	623.7
Cm合計	66.9	36.9	0.0	0.0	103.8	0.0	103.8
HM合計	32464.3	32142.3	27266.1	22609.6	64606.6	49875.7	114482.3
ラジオ化FP	4185.1	2763.5	327.7	85.2	6948.6	413.0	7361.5
隨伴FP	141.3	134.4	0.0	0.0	275.6	0.0	275.6
FP合計	4326.3	2897.9	327.7	85.2	7224.2	413.0	7637.2

表 2-7 制御棒価値

単位 : %  $\Delta k/kk'$ 

項目	主炉停止系制御棒	後備炉停止系制御棒	
	ワンロッドスタック時	全数挿入時	ワンロッドスタック時
ノミナル値 <sup>*1</sup>	7.3	2.5	2.1
最小値 <sup>*2</sup>	6.6	2.3	1.9

\*1 群縮約、非均質、輸送及びメッシュ効果を考慮した値

\*2 制御棒価値の予測誤差9% (3σ) を考慮した値

表 2-8 制御反応度収支

単位 : %Δk/kk<sup>\*</sup>

項目	主炉停止系制御棒		後備炉停止系制御棒	
	ワントロッドスタック時	全数挿入時	ワントロッドスタック時	全数挿入時
(1) 計画余剰反応度	3.7 (0.8)	下記a～c項の積算 定格出力から低温素出力の ノミナル値 <sup>*1</sup>	0.8 (0.8)	下記a～c項の積算 定格出力から低温素出力の ノミナル値 <sup>*1</sup>
a. 出力補償	(2.7)	ノミナル値に燃料組成の不 確かさ分0.9を加算	—	(0.6) —
b. 燃焼補償	(0.2)	バイト分	—	—
c. 運転余裕	0.5 (0.0)	下記a～d項を統計処理し、 小数点以下1桁に切り上げ	0.2 (0.12)	下記b項を小数点以下1桁に 切り上げ 上記出力補償の15%
(2) 余剰反応度不確かさ	—	—	—	0.1 (0.09)
a. 臨界予測誤差	—	—	—	上記出力補償の15%
b. 出力補償予測誤差	—	—	—	—
c. 燃料製作公差	(0.39)	—	—	—
d. 燃料交換余裕	(0.20)	実証炉設定値 (1σ=0.1)	—	—
(3) 事故時投入反応度	—	—	0.2	主炉停止系制御棒中途挿入 状態からの1本誤引抜反応度
(4) 必要制御反応度合計	4.2 (1)～(3)の合計	—	1.2 (1)～(3)の合計	0.9 (1)～(3)の合計
(5) 制御棒価値	6.6	予測誤差を考慮した最小値	2.3	予測誤差を考慮した最小値 1.9
(6) 炉停止余裕	2.4 $\beta_{\text{eff}}$ 以上であり成立	(5)～(4)：設計目標 (0.4=1 $\beta_{\text{eff}}$ 以上で)	1.1 (5)～(4)：炉停止余裕を確 保でき成立	1.0 (5)～(4)：炉停止余裕を確 保でき成立

\*1 出力補償反応度は、燃料のドップラ反応度に炉心各部の熱膨張効果を加えて評価

表 2-9 反応度特性（平衡サイクル末期 定格出力時）

項目		内側炉心	外側炉心	合計
ナトリウムボイド反応度 * <sup>1</sup> (\$)		4.4	1.4	5.9
ドップラ係数 (Tdk/dT)	燃料 (炉心部) * <sup>2</sup>	-3.20E-03	-1.30E-03	-4.50E-03
	被覆管	-6.05E-04	-2.41E-04	-8.46E-04
	被覆管以外 * <sup>3</sup>	-4.12E-04	-1.64E-04	-5.76E-04
	合計	-1.02E-03	-4.06E-04	-1.42E-03
密度係数 ( $\Delta k/kk' / \Delta \rho / \rho$ )		燃料	1.89E-01	9.83E-02
		構造材	-5.84E-02	-2.08E-02
		冷却材 * <sup>4</sup>	-2.07E-02	-7.10E-03
形状係数	軸方向 ( $\Delta k/kk' / \Delta H/H$ )	0.09020	0.04702	0.13722
	径方向 ( $\Delta k/kk' / \Delta R/R$ )	0.02193	0.01143	0.03336

\*<sup>1</sup> 非均質及びメッシュ効果を考慮した値\*<sup>2</sup> 非均質効果を考慮した値\*<sup>3</sup> ラッパ管、内部ダクト、スペーサワイヤ\*<sup>4</sup> 集合体セル内の全ての冷却材

## [注記]

プランケット燃料のドップラ係数 [非均質効果考慮] (Tdk/dT)

上部軸プランケット · · · -1.37E-04

下部軸プランケット · · · -6.85E-04

径方向プランケット · · · -1.21E-04

表 2-10 温度係数（平衡サイクル末期 定格出力時）

[単位 :  $10^{-6} \Delta k/kk' / ^\circ C$ ]

項目		内側炉心	外側炉心	合計
膨張反応度	燃料 (炉心部)	-1.7	-0.8	-2.5
	被覆管	1.6	0.5	2.1
	被覆管以外 * <sup>1</sup>	0.5	0.2	0.7
	冷却材 * <sup>2</sup>	5.1	1.7	6.8
	炉心支持板	-6.5	-3.4	-9.9
ドップラ反応度 * <sup>3</sup>		-2.1	-1.0	-3.1

\*<sup>1</sup> ラッパ管、内部ダクト、スペーサワイヤ\*<sup>2</sup> 集合体セル内の全ての冷却材、非均質効果を考慮した値\*<sup>3</sup> 燃料のみ、非均質効果を考慮した値

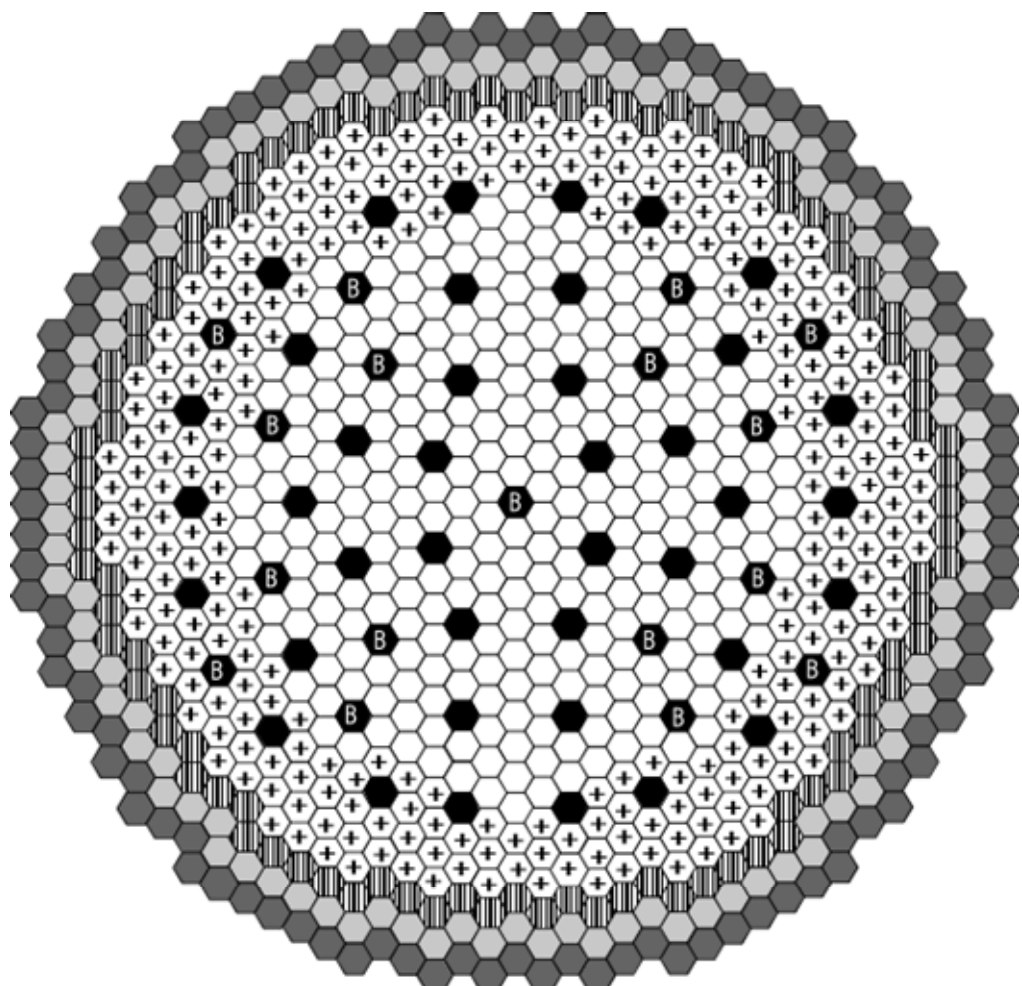
表 2-11 動特性パラメータ（平衡サイクル末期）

項 目	評価値	
実効遅発中性子割合	$\beta_1$	0.00007
	$\beta_2$	0.00066
	$\beta_3$	0.00058
	$\beta_4$	0.00116
	$\beta_5$	0.00054
	$\beta_6$	0.00016
	合計	0.00318
遅発中性子先行核の崩壊定数 ( $s^{-1}$ )	$\lambda_1$	0.01
	$\lambda_2$	0.03
	$\lambda_3$	0.13
	$\lambda_4$	0.34
	$\lambda_5$	1.37
	$\lambda_6$	3.77
即発中性子寿命 ( $\mu s$ )	0.36	

表 2-12 炉心流量配分と熱流力特性及び被覆管 CDF

領域	流量領域	集合体数	集合体流量(kg/s)	領域流量(kg/s)	被覆管最高温度 <sup>*1</sup> (°C)	パンドル部圧力損失(MPa)	被覆管CDF
内側炉心	1	32	35.5	1136.0	689	0.22	0.44
	2	58	33.8	1960.4	690	0.20	0.45
	3	114	32.1	3659.4	690	0.19	0.32
	4	84	28.8	2419.2	700	0.16	0.43
	小計	288	—	9175.0	—	—	—
外側炉心	5	40	31.9	1276.0	700	0.18	0.06
	6	74	28.2	2086.8	699	0.15	0.05
	7	88	24.4	2147.2	699	0.12	0.03
	8	72	19.3	1389.6	700	0.09	0.004
	小計	274	—	6899.6	—	—	—
径方向 プランケット	9	34	9.1	309.4	699	—	—
	10	62	6.0	372.0	698	—	—
	小計	96	—	681.4	—	—	—
合計		658	—	16756.0 * <sup>2</sup>	—	—	—

<sup>\*1</sup> 肉厚中心、ホットスポット温度<sup>\*2</sup> 1次系流量の93.1%[燃料集合体に配分可能な流量=95.5%]



○ 内側炉心燃料集合体	288 体
○+ 外側炉心燃料集合体	274 体
●● 径方向プランケット燃料集合体	96 体
● 主炉停止系制御棒	40 体
●B 後備炉停止系制御棒	17 体
○○ ステンレス鋼遮へい体	102 体
●● Zr-H遮へい体	108 体
<hr/>	
合 計	925 体

図 2-1 炉心配置

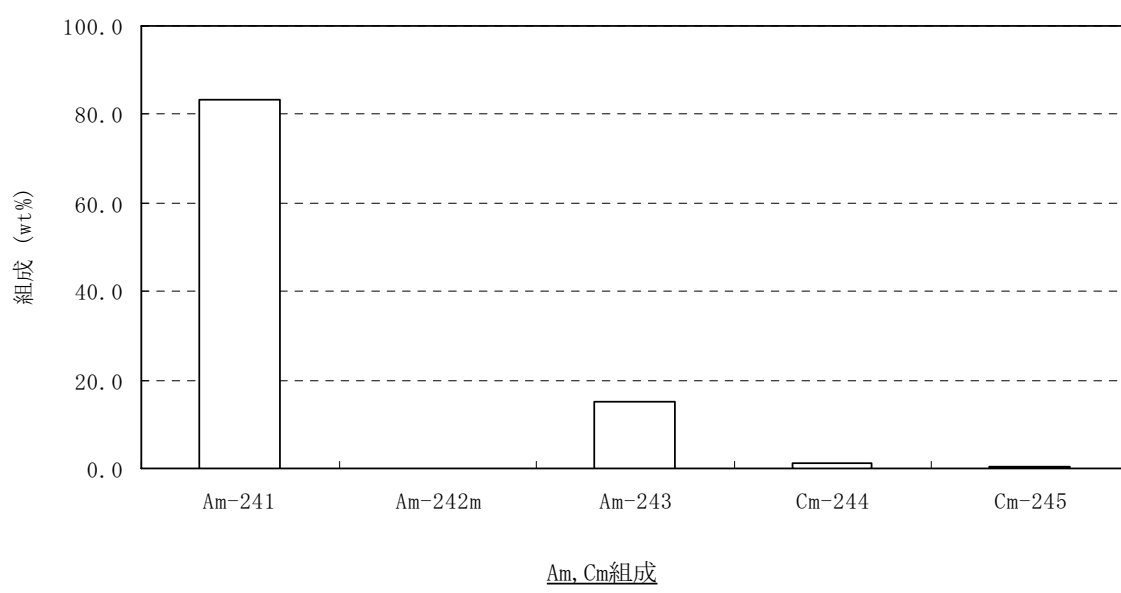
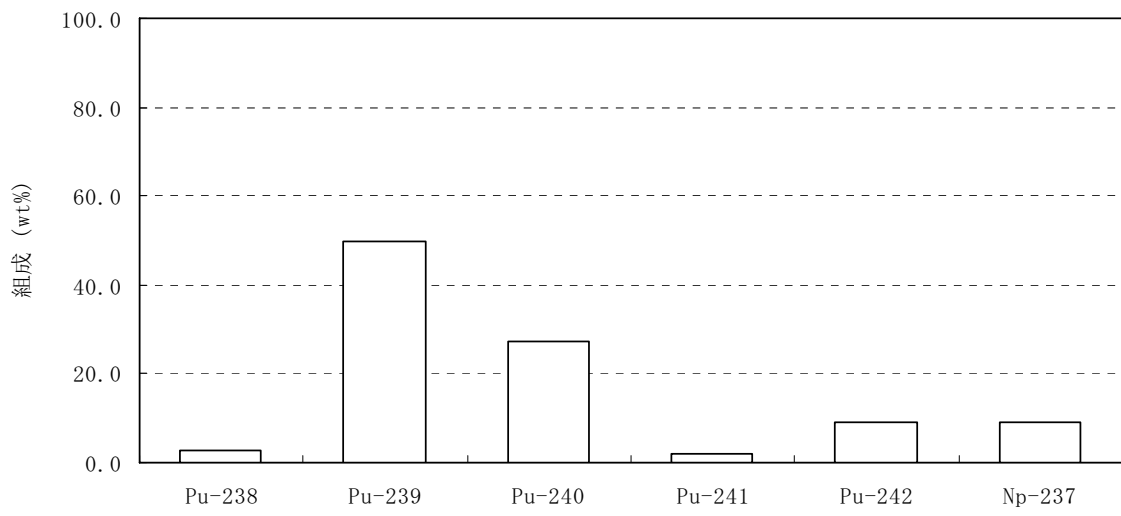


図 2-2 核設計検討用軽水炉使用済燃料 TRU 組成

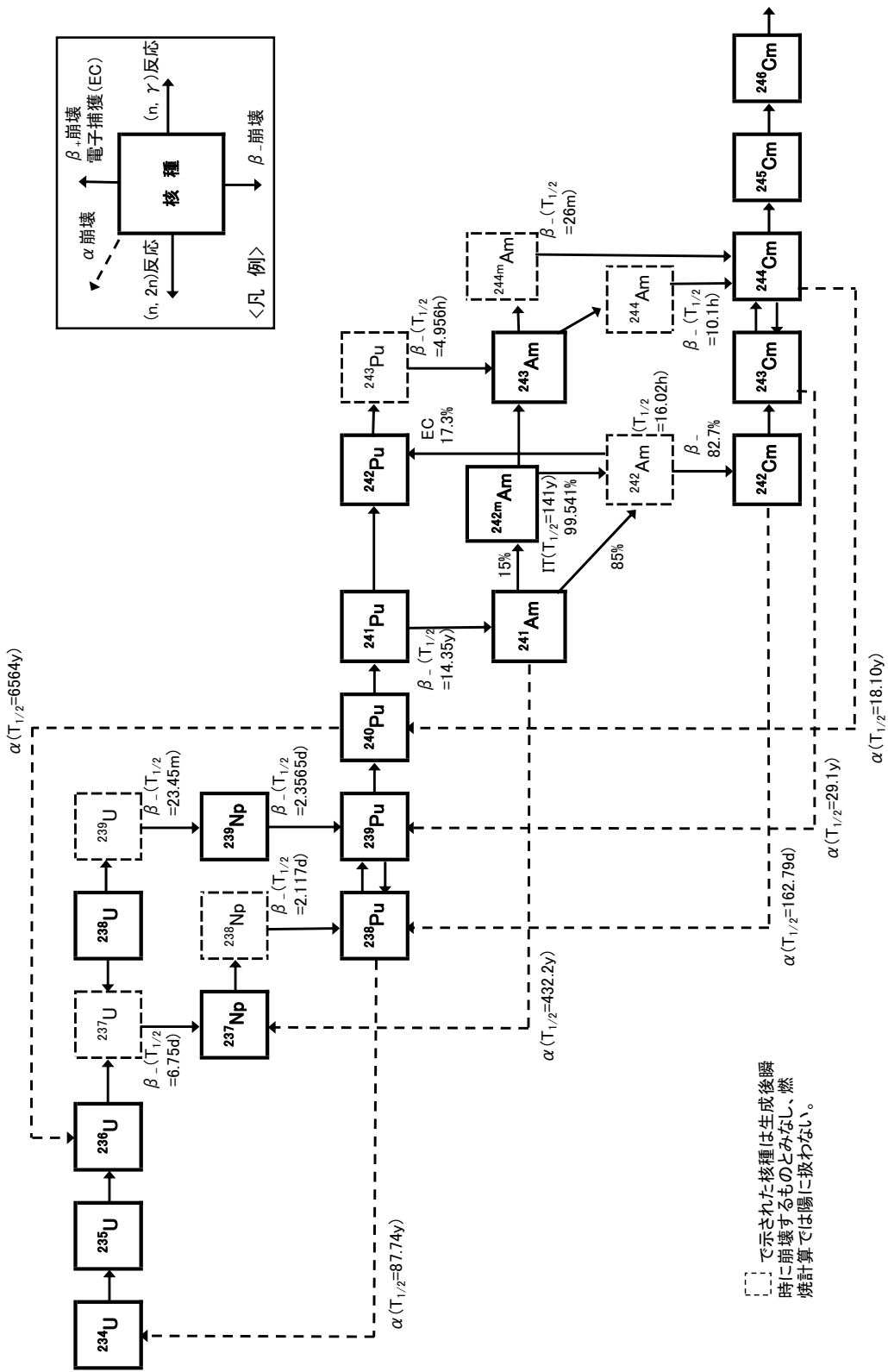


図 2-3 燃焼チエーン

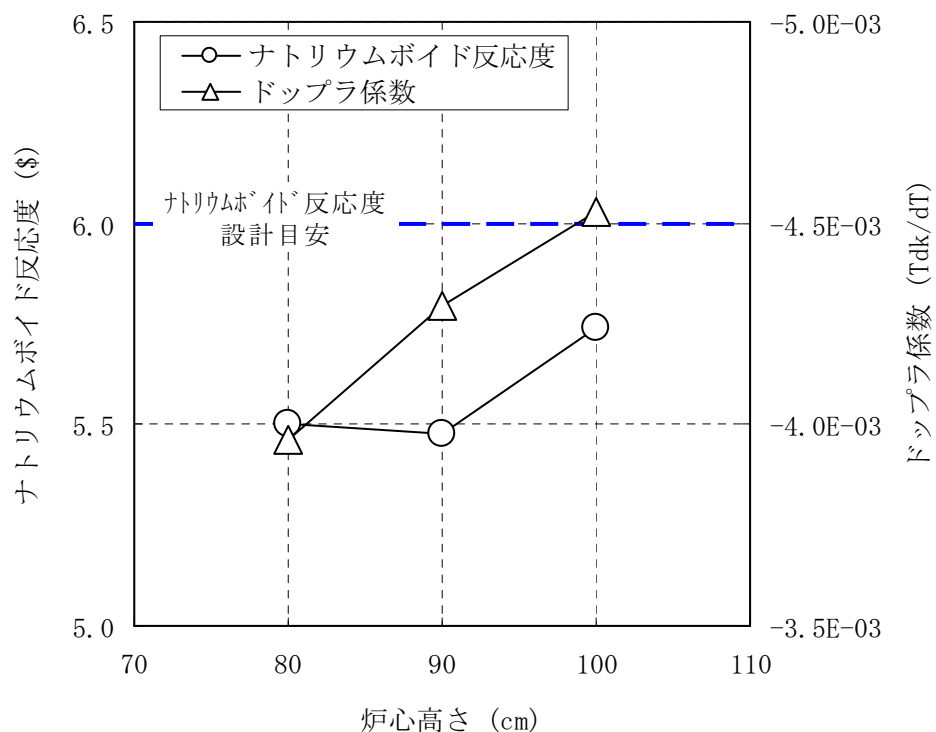


図 2-4 炉心高さとナトリウムボイド反応度及びドップラ係数の関係

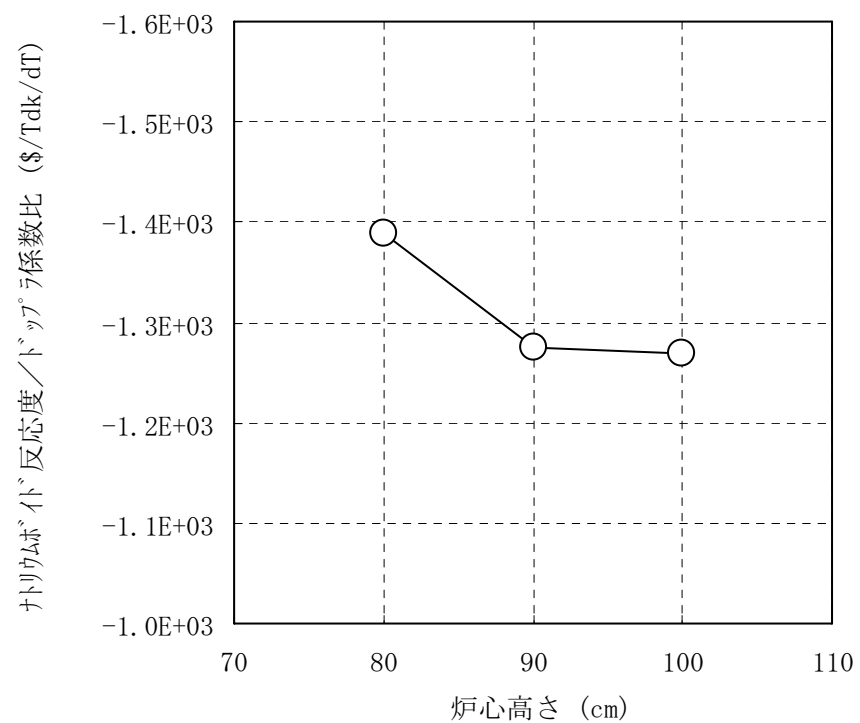


図 2-5 炉心高さとナトリウムボイド反応度/ドップラ係数比の関係

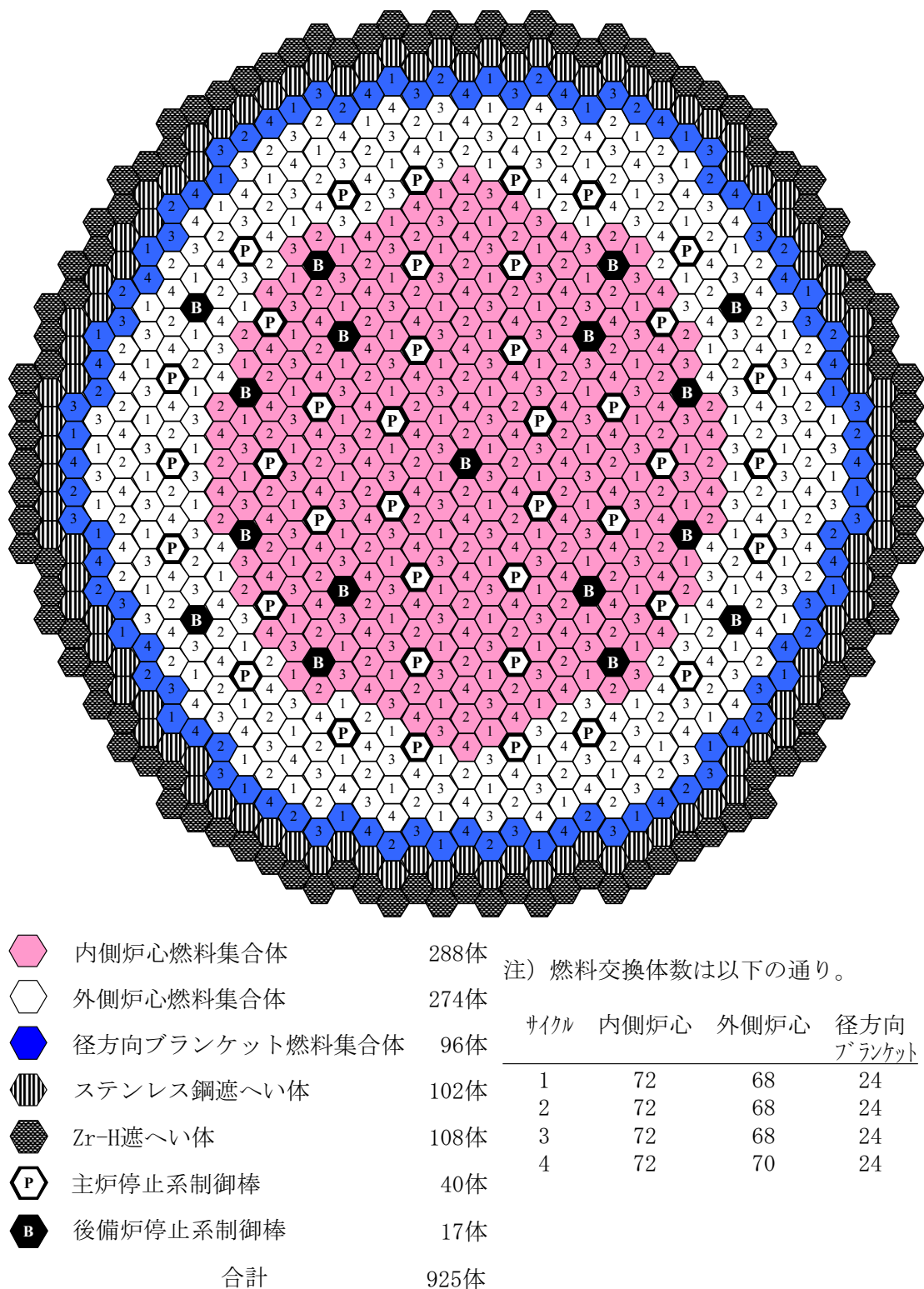


図 2-6 燃料交換パターン

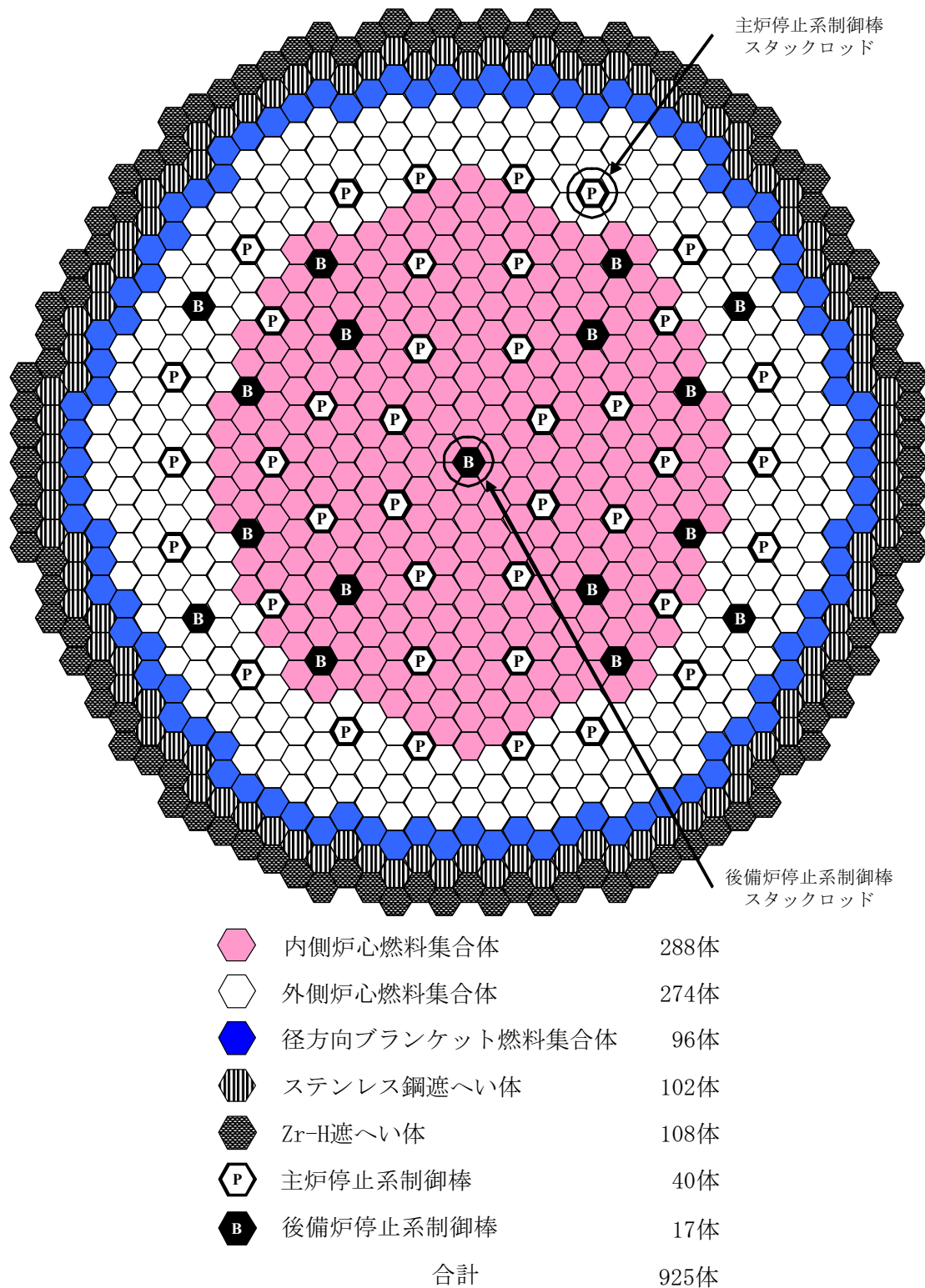


図 2-7 制御棒価値が最小となるスタック制御棒位置

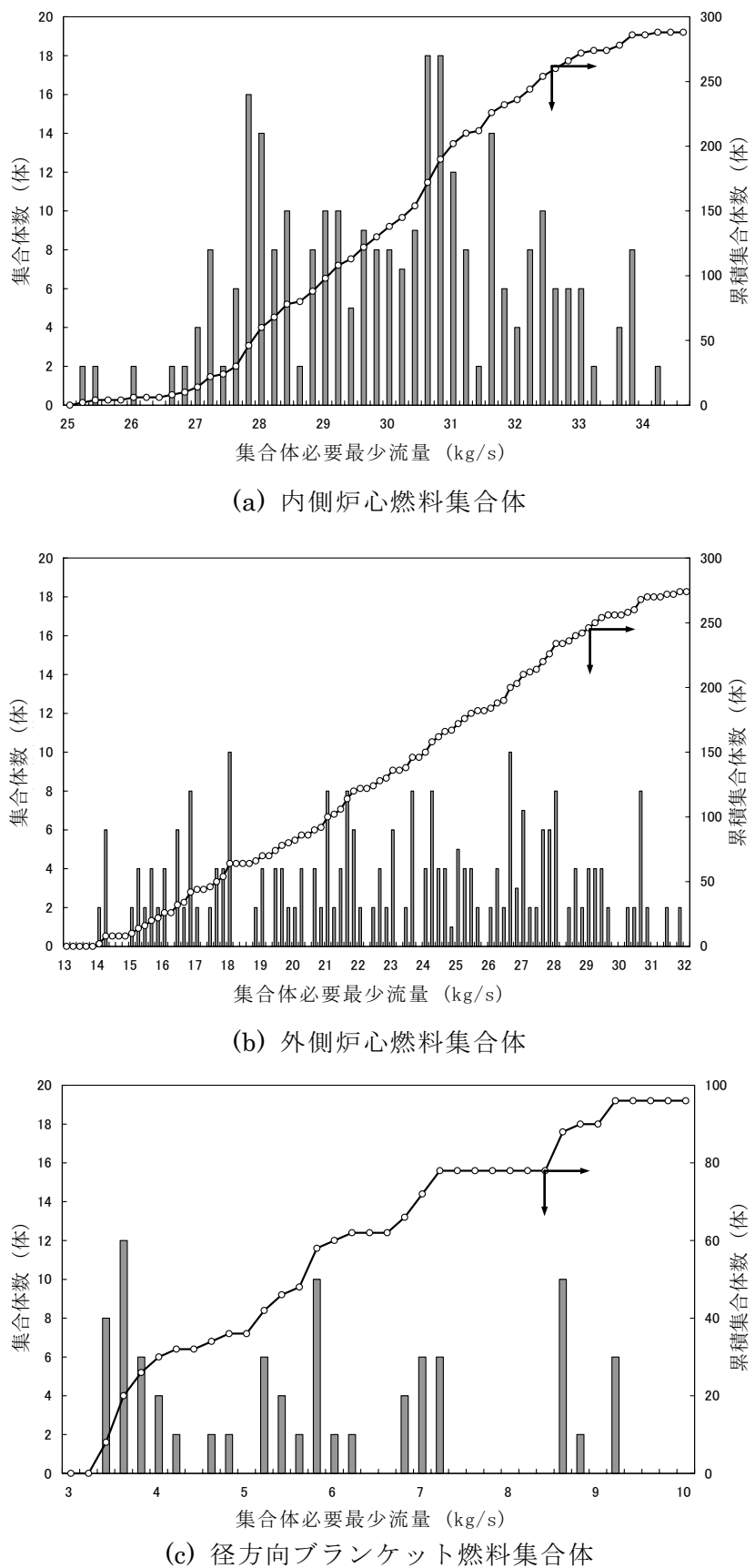
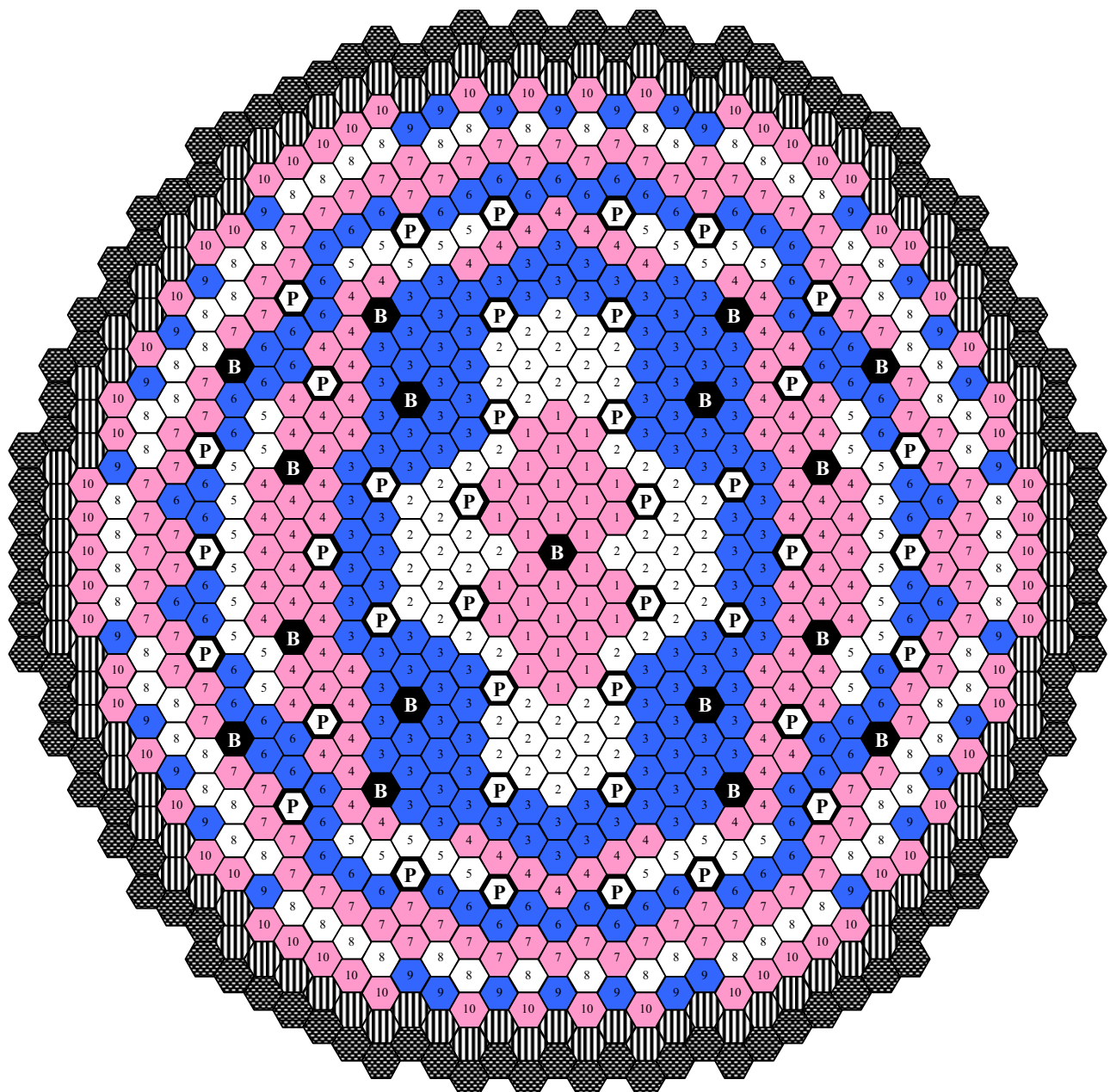


図 2-8 燃料集合体必要最少流量の度数分布



内側炉心（288 体）

第 1 流量領域	32 体
第 2 流量領域	58 体
第 3 流量領域	114 体
第 4 流量領域	84 体

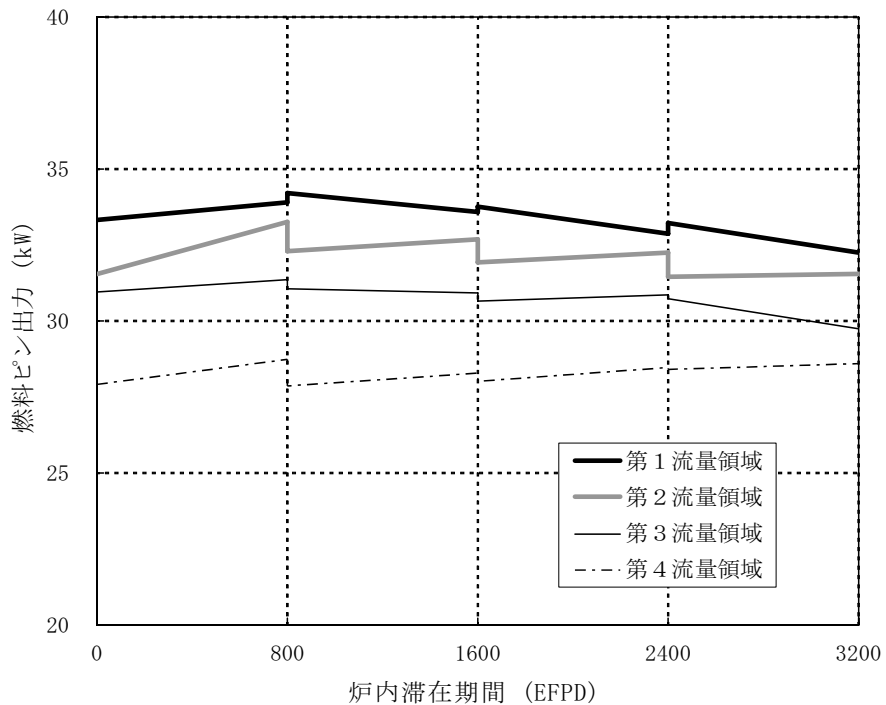
外側炉心（274 体）

第 5 流量領域	40 体
第 6 流量領域	74 体
第 7 流量領域	88 体
第 8 流量領域	72 体

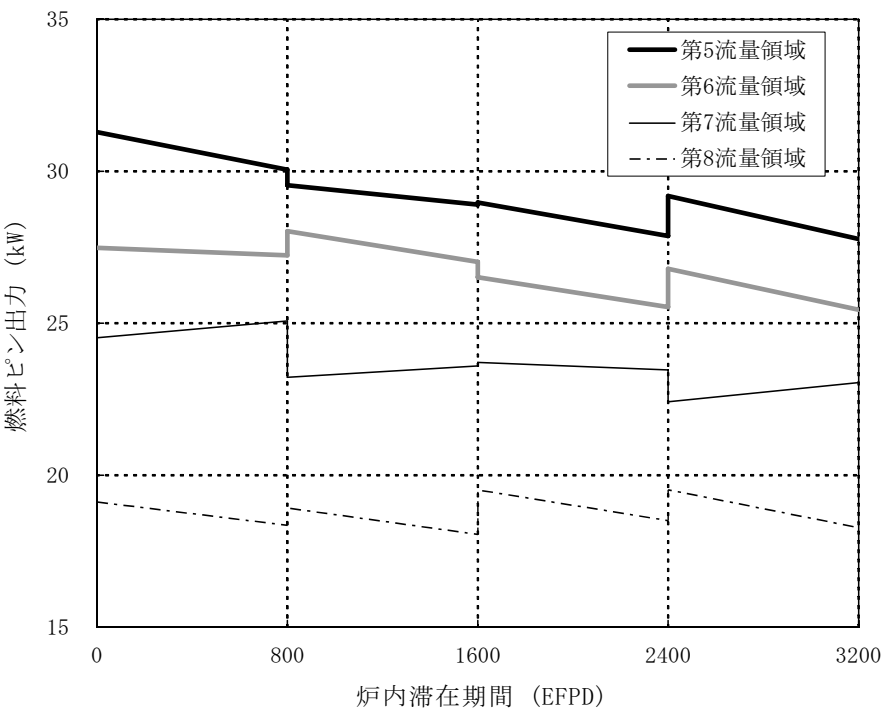
径方向ブランケット（96 体）

第 9 流量領域	34 体
第 10 流量領域	62 体

図 2-9 炉心流量領域区分

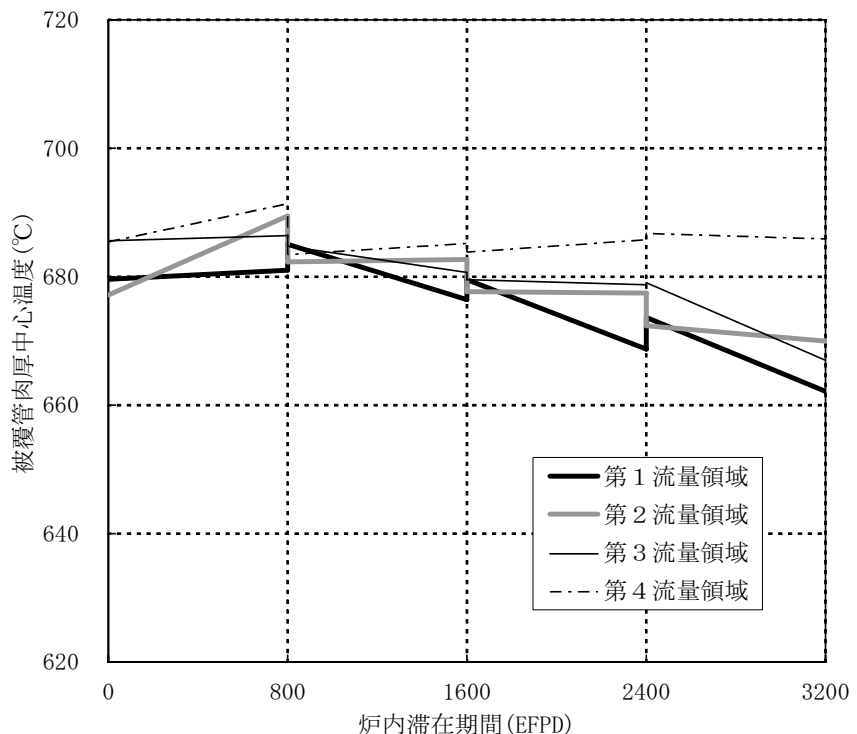


(a) 内側炉心燃料

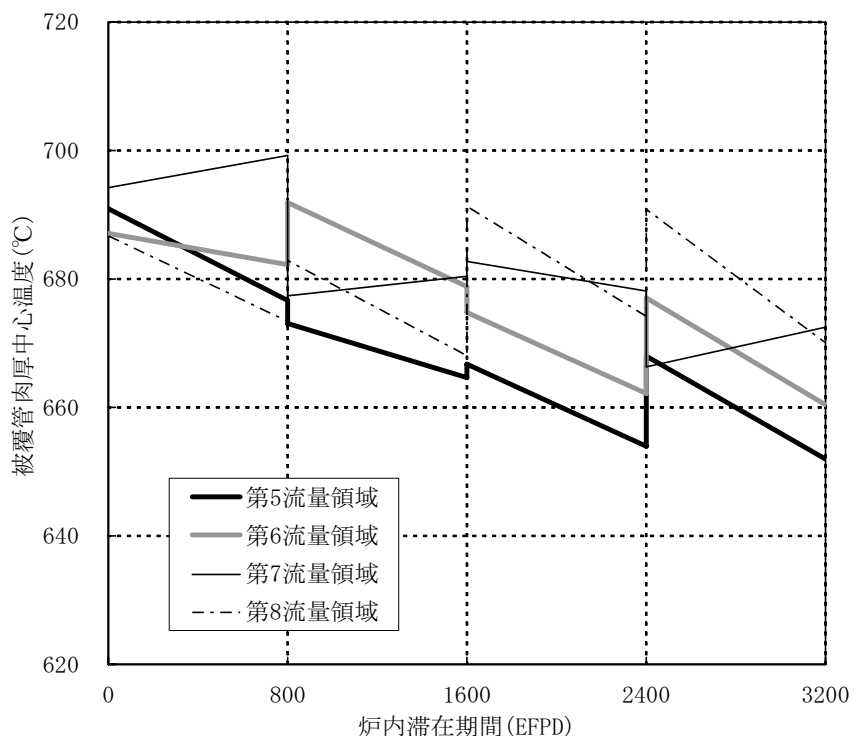


(b) 外側炉心燃料

図 2-10 CDF 評価対象燃料ピンの出力履歴



(a) 内側炉心燃料



(b) 外側炉心燃料

図 2-11 燃料ピンの被覆管最高温度(肉厚中心)履歴

### 3. ブランケットへの Pu 添加による核不拡散性向上炉心の検討

本章では、第 2 章で設定した軽水炉使用済燃料回収 TRU を用いた大型 MOX 燃料高内部転換型炉心をベースに、更なる核不拡散性の向上を目的としてブランケットへ予め Pu を添加する方法を検討した結果を示す。

#### 3.1 背景

FaCT における核不拡散性に関する開発目標として、核不拡散性を高める技術の適用、効果的・効率的な保障措置システムの適用、核物質等の盗取と施設の妨害破壊行為を抑止できる核物質防護システムの適用、が挙げられている<sup>[5]</sup>。核不拡散性を確保する上で、保障措置や核物質防護等の外的 (extrinsic) な面における対策・措置の重要性は言うまでもない。本研究では、炉心・燃料設計上の工夫の余地のある内的 (intrinsic) な面における更なる核不拡散性向上を目指し、グレードの高い兵器級 Pu (<sup>240</sup>Pu 同位体組成比で < 7%) を生成する高速増殖炉のブランケット燃料に着目し、炉心燃料用の Pu を予めブランケットに添加することにより、ブランケットにおける Pu を常に原子炉級以下 (<sup>240</sup>Pu 同位体組成比で > 18%) に保つ方法を検討した。

ただし、Pu を原子炉級以下にしたとしても、どんな組成の Pu でも核爆発を起こさせることを原理的に可能とする文献情報<sup>[6]</sup>があるため、核兵器及び核爆発装置への Pu 転用可能性を完全に否定できるものではない。しかし、原子炉級以下の Pu を用いる場合、爆発の信頼性が落ちること、爆縮に高い技術が要求されること、さらに発熱や放射線に対する対応が必要であることから、戦略兵器として魅力の乏しいものとなることが指摘されており<sup>[7,8]</sup>、Pu を原子炉級以下とすることが核不拡散性を相対的に高めると言うことはできるだろう。また、高性能の核兵器を所有する上で不可欠な要素を自ら放棄し、平和国家日本の姿勢として国内外にアピールする社会的な効果も期待できると考えられる。

#### 3.2 検討条件

第 2 章で設定した軽水炉使用済燃料回収 TRU を用いた大型 MOX 燃料高内部転換型炉心（以下、「MA 含有燃料炉心」と称する）を対象として、ブランケットに Pu を添加した場合に必要となる設計対応と、炉心・燃料設計の成立性見通しを評価した。本炉心を「核不拡散性向上炉心」と呼ぶことにする。核不拡散性向上炉心の炉心・燃料設計に係るプラ

ント仕様、炉心・燃料基本仕様、燃料健全性及び安全設計に係る設計目安、他設計との取合条件、炉心性能目標、解析評価手法は、第2章で示したとおりである。以下に追加点及び変更点を記載する。

### (1) Pu の等級

本検討では、当面の設計目標として、「ブランケットにおける平均的なPu組成が常に原子炉級以下 ( $^{240}\text{Pu}$  同位体組成比で > 18%) に保たれること」を設定した。ここで、B. Pellaud が広く用いられている伝統的なものとして示したPuの等級を暫定的に適用するものとした。

#### B. Pellaud の論文に示されたPuの等級（文献[8]）

・スーパー級 (Super grade)	$x < 3\%$	Best quality
・兵器級 (Weapon grade)	$3\% < x < 7\%$	Standard material
・燃料級 (Fuel grade)	$7\% < x < 18\%$	Practically usable
・原子炉級 (Reactor grade)	$18\% < x < 30\%$	Conceivably usable
・MOX級 (MOX grade)	$30\% < x$	Practically unusable

(x =  $^{240}\text{Pu}$  同位体組成比)

B. Pellaud は原子炉級 Pu について、「粗悪な爆発装置を作るのに原理的に使用可能であり、現実的な困難さはそれでもやはり相当なものである。」と述べ、Conceivably usable (ひょっとすると利用可能) と付している。

### (2) ブランケットに添加するPu (TRU) 組成

設計検討用の TRU 組成である ALWR 使用済燃料回収 TRU 組成（炉外時間 40 年）は、高速炉新燃料における MA 含有率 3 wt% の条件の下、軽水炉使用済燃料から高速炉へ供給される可能性のある様々な TRU 組成の中で、炉心安全性に係る反応度係数（ナトリウムボイド反応度、ドップラ係数）の観点から保守側に設定したものである。同組成は、ナトリウムボイド反応度が大きく、ドップラ係数の絶対値が小さくなる fertile (核分裂を起こしにくい核種) の組成比の多い、いわゆる高質量数化（高次化）した組成となっている。

この高質量数化した組成は、ブランケットの Pu の核不拡散性を高める目的を達成しやすい組成である。反対に高質量数化のなるべく進んでいない組成を選ぶことが、ブランケットに添加する TRU 組成としては保守的な条件となる。そこで、軽水炉使用済燃料から高速炉へ供給される可能性のある様々な TRU 組成の中で最も高質量数化の進んでいない、LWR 使用済燃料回収 TRU 組成（炉外時間 4 年）

$$\begin{aligned} & {}^{238}\text{Pu}/{}^{239}\text{Pu}/{}^{240}\text{Pu}/{}^{241}\text{Pu}/{}^{242}\text{Pu}/{}^{237}\text{Np}/{}^{241}\text{Am}/{}^{243}\text{Am}/{}^{244}\text{Cm} \\ & = 2.3/46.5/23.1/11.0/6.7/5.8/2.8/1.4/0.4 \text{ wt\%} \end{aligned}$$

※ PWR（燃焼度 49 GWd/t）と BWR（45 GWd/t）の  
使用済燃料中の TRU を 1:1 で混合

をブランケットに添加する TRU 組成に設定した。ここで、MA は使用済燃料回収組成のまま過不足なく付随するものとした。随伴 FP についてはブランケットに添加したときの含有率が少ないとから無視するものとした。

### (3) ブランケットへの TRU 添加率

ブランケットへの TRU 添加率をパラメータに、MA 含有燃料炉心の軸方向及び径方向ブランケットに上記の LWR 使用済燃料回収 TRU 組成（炉外時間 4 年）を添加した場合の炉心計算を行った。

図 3-1 に軸方向及び径方向ブランケットの取出 Pu 同位体組成と TRU 添加率との関係を示す。これより、ブランケットへの TRU 添加率を 5 wt%程度とすれば、軸方向ブランケット、径方向ブランケット共に、平均 Pu 組成を原子炉級に保つことができるることがわかる。

この結果を踏まえて、ブランケットへの TRU 添加率を 5 wt%とした。

### (4) 炉心仕様の設定

ブランケットに TRU を添加することにより、ブランケットの出力分担が増え、炉心平均比出力が減少する。炉心平均比出力は安全要求より 40 kW/kg-MOX 程度以上とする必要がある。参考炉心である MA 含有燃料炉心の炉心平均比出力は 40 kW/kg-MOX であり（表 2-5 参照）余裕が殆どないことから、ブランケットへの TRU 添加とともに炉心燃料インベントリを削減する必要がある。ここでは、炉心高さの低減により対応す

るものとし、TRU 添加率が 5 wt% の場合は、炉心高さを 100 cm から 90 cm に変更することにより、炉心平均比出力を満足させる見通しが得られた。なお、ブランケットへの TRU 添加によって、炉心部取出平均燃焼度も減少するが、上記の炉心高さ減少により、MA 含有燃料炉心程度にまで回復させることができる。

ブランケットへの TRU 添加により若干の増殖比の低下が生じるが、炉心高さの減少は増殖比をさらに低下させる。そこで、増殖比 1.1 程度となるように軸方向ブランケットの伸長により対応するものとした。ブランケットへの TRU 添加率 5 wt%、炉心高さ 90 cm の場合、軸方向ブランケット厚さ(上部/下部)を 35 (15/20) cm から、55 (25/30) cm に増加することで増殖比の要求を満足できることがわかった。これより、軸方向ブランケット厚(上部/下部) 55 (25/30) cm を選択することにした。

### 3.3 炉心特性評価

#### 3.3.1 核特性評価

前記 3.2 (4) 項で設定した炉心仕様を基に、核不拡散性向上炉心の燃焼特性、出力分布、制御反応度収支、反応度係数等を評価した。

##### (i) 主要核特性

表 3-1 及び表 3-2 に主要核特性及び燃料インベントリを示す。

Pu 富化度は、内側炉心が 19.6 wt%、外側炉心が 21.9 wt% であり、MA 含有燃料炉心と比べ大きな変化はない。燃焼反応度は  $1.5 \% \Delta k/kk'$  であり、MA 含有燃料炉心と比べ若干減少している。

軸方向ブランケットの伸長の結果、増殖比 1.099 が得られており、炉心性能目標を満足している。

炉心平均比出力は 41 kW/kg-MOX、ナトリウムボイド反応度は 5.7 \$ と、設計目安を満足する。ドップラ係数は  $-4.3 \times 10^{-3} \text{ Tdk/dT}$  である。

最大線出力は内側炉心が 393 W/cm、外側炉心が 378 W/cm と、ブランケットの出力分担率の増加のため MA 含有燃料炉心と比べ減少している。また、最大高速中性子照射量は、 $4.9 \times 10^{23} \text{ n/cm}^2$ 、取出平均燃焼度が炉心部で 147 GWd/t、ブランケット燃料を含む全炉心では 85 GWd/t と、いずれも設計条件を満足する。

燃料インベントリ（表 3-2）を見ると、取出時  $^{240}\text{Pu}$  同位体組成比が、軸方向ブランケット平均で 19.0 wt%、径方向ブランケット平均で 19.8 wt% となっており、

Pu が原子炉級であることが確認できる。

MA 含有燃料炉心と比べ核特性が悪化したものとして、ブランケットへの TRU 添加に伴う初装荷核分裂性 Pu 重量の増加 ( $5.7 \rightarrow 6.4 \text{ t/GWe}$ ) があげられる。

#### (ii) 制御棒価値及び制御反応度収支

表 3-3 に制御棒価値を示し、表 3-4 に制御反応度収支を示す。制御棒価値は MA 含有燃料炉心と比べて 5~9% 程度小さい値となっている。これは、炉心高さ低減、ブランケットへの TRU 添加により、炉心部の反応度に対する寄与が減少したためと考えられる。制御棒価値は減少しているが、主炉停止系については必要制御反応度中の燃焼補償も小さくなっているため、十分な炉停止余裕を有している。後備炉停止系についても炉停止余裕を確保できており、制御反応度収支は成立する見込みである。

#### (iii) 反応度及び動特性パラメータ

表 3-5 に、平衡サイクル末期におけるナトリウムボイド反応度、ドップラ係数、密度係数及び形状係数を示し、また、これらの反応度係数を用いて評価した温度係数を表 3-6 に示す。なお、表 3-7 に動特性パラメータ（実効遅発中性子割合、遅発中性子崩壊定数、即発中性子寿命）を示す。

### 3.3.2 热流力特性・燃料健全性評価

前項の出力分布に基づき核不拡散性向上炉心の炉心流量配分領域区分を設定し、燃料集合体の熱流力特性を評価した。続いて、燃料ピン出力と被覆管温度履歴より、燃料健全性に係る主要評価項目である被覆管の CDF を評価した。

#### (1) 評価条件・方法

評価条件・方法は前記 2.3.2 項及び 2.3.3 項にて示したとおりである。以下では相違点を述べる。

核不拡散性向上炉心の炉心及びブランケット燃料集合体仕様における MA 含有燃料炉心からの変更点は、発熱部全長が 1350 mm から 1450 mm へと 100 mm 増加したことである。核不拡散性向上炉心では、ブランケットへの TRU 添加によって出力分布が平坦化されたため、燃料健全性に対する設計裕度が大きくなっている。そこで、下部ガスプレナム長を 100 mm 短縮した 1050 mm に仮設定し、MA 含有燃料炉心と同じ燃料

要素全長 2690 mm とすることができるようにした。表 3-8 に核不拡散向上炉心の炉心及びブランケット燃料集合体仕様をまとめた。

核不拡散性向上炉心では、軸方向ブランケットにおける出力分担が増加しているが、2.3.3 項と同様に CDF 評価においては燃料要素全出力が全て炉心燃料部で発生していると保守側に仮定して評価した。ここで、ガス状の核分裂生成物の生成率には、MA によるヘリウムガスの生成を考慮した。ブランケット部に添加する TRU 組成に高質量数化のなるべく進んでいない組成を選んだが、炉心燃料と同様の高質量数化した組成を用いる場合もあることを考慮し、ヘリウムを含むガス状核分裂生成物の生成率を設定した。

## (2) 評価結果

### (i) 炉心流量領域区分

図 3-2 に、被覆管肉厚中心最高温度を 700°C とするための集合体必要最少流量の度数分布を内側炉心、外側炉心及び径方向ブランケット燃料の領域毎に示す。

図 3-2 の集合体必要最少流量の度数分布を基に、炉心・径方向ブランケット燃料への配分流量の低減と流量領域区分の対称性を考慮して流量領域区分を設定した。

図 3-3 に、設定した炉心流量領域区分を示す。炉心流量領域は、内側及び外側炉心がそれぞれ 4 領域、径方向ブランケットが 2 領域である。

### (ii) 炉心流量配分及び熱流力特性

表 3-9 に、各流量領域の燃料集合体流量、領域流量、被覆管最高温度及び燃料ピンバンドル部圧力損失を示す。なお、内側炉心の第 1 から第 4 流量領域の燃料集合体流量は、後述の被覆管 CDF を抑制するために被覆管肉厚中心最高温度を 700°C より若干低く設定し、それ以外の領域の燃料集合体流量は、被覆管肉厚中心最高温度を 700°C とするように設定した。ここで、ブランケットへの TRU 添加により、径方向ブランケット燃料集合体の必要冷却材流量が増加したため、炉心燃料集合体の冷却材流量を抑制することも考慮している。

結果として表 3-9 に示すように、被覆管肉厚中心最高温度及び燃料ピンバンドル部圧力損失の最大値は 700°C 及び 0.21 MPa であり設計条件を満足している。また、炉心及び径方向ブランケット燃料への流量は 16,425 kg/s (1 次系冷却材流量の 91.3%) であり、これは炉心に配分可能な流量 95.5% に対して 4.2% の余裕を有している。

### (iii) 被覆管 CDF

表 3-9 に、被覆管の CDF（通常運転時）評価結果を示す。CDF の最大値は内側炉心が 0.50、外側炉心が 0.18 であり、内側炉心について余裕がほとんど無いものの、いずれも設計目安（0.5 以下）を満足している。

#### 3.3.3 遮へい設計成立性の見通し

核不拡散性向上炉心では、ブランケットへの TRU 添加のため、ブランケットにおける中性子束の増大が予想される。このことが炉心周りの遮へい成立性に影響を及ぼす可能性がある。そこで、遮へい設計成立性の見通しを確認した FS フェーズⅡの大型 MOX 燃料高内部転換型炉心（以下、FS フェーズⅡ代表炉心）と中性子束を相対比較する簡易評価法により、核不拡散性向上炉心の炉心周り遮へいの成立性について概略評価することにした。

核不拡散性向上炉心の径方向遮へい構成はフェーズⅡ代表炉心と同じである。核不拡散性向上炉心の軸方向ブランケット厚さは、フェーズⅡ代表炉心と比べると上部軸方向ブランケットで 5 cm 増大、下部軸方向ブランケットで 10 cm 增大している。

一方、第 2 章で設定した MA 含有燃料炉心は、径方向の遮へい構成及び下部軸方向ブランケット厚さはフェーズⅡ代表炉心と同じであるが、上部軸方向ブランケット厚さが 5 cm 短縮となっているため、同炉心についても炉心周り遮へいの成立性見通しを同様に確認することにした。

##### (1) 評価方法

炉心周りの代表的な位置（径方向ブランケット外側、上部軸方向ブランケット上端、下部軸方向ブランケット下端）での中性子束の相対比較を行うことで、炉心周り遮へいの成立性を評価するものとした。相対比較においては、フェーズⅡ代表炉心での炉心周り遮へいの設計裕度を考慮して成立性を判断した。

##### (2) 評価結果

表 3-10 に、径方向ブランケットのステンレス鋼遮へい体側の位置での平衡末期（EOEC）における中性子束の値を比較して示した。中性子束は、軸方向には炉心中心高さ位置での値である。核不拡散性向上炉心の径方向ブランケット外側の高速中性子束

はフェーズⅡ代表炉心と比べて、20～30%増大していることがわかる。

図3-6にフェーズⅡ代表炉心における炉心周り遮へい特性評価結果を示す。径方向ブランケットでの高速中性子束の増加が直接影響すると考えられる炉心槽での中性子照射量に対する設計裕度はファクターで10あり、また、DHXの2次系ナトリウム配管線量に対してはファクター6、IHXの2次系配管線量率に対してはファクター3.5の設計裕度がある。従って、20～30%の増大であれば、これら部位に対する遮へいの成立性は十分見込めるものと判断できる。

図3-6からわかるように、炉心周り遮へいで設計裕度の少ない部位は炉心支持板およびUIS下面である。それらにおける中性子照射量に対する設計裕度は、それぞれファクター1.5と2.0である。表3-11と表3-12に、下部軸方向ブランケット下端と上部軸方向ブランケット上端における径方向最大中性子束を示した。下部軸方向ブランケット下端及び上部軸方向ブランケット上端における径方向高速中性子束分布を、図3-7及び図3-8にそれぞれ示した。

下部軸方向ブランケット下端での高速中性子束を見ると、炉心支持板の中性子照射量制限に直接係る炉心燃料集合体装荷領域において、核不拡散性向上炉心はフェーズⅡ代表炉心を下回ることが確認できる。軸方向ブランケットの出力分担が増えたものの、軸方向ブランケットの厚さを増加させたことによる遮へい効果が働いたと考えることができる。なお、MA含有燃料炉心は、フェーズⅡ代表炉心と同程度の結果となっている。

上部軸方向ブランケット上端での高速中性子束については、核不拡散性向上炉心がフェーズⅡ代表炉心とほぼ同程度となっており、これも軸方向ブランケットの出力分担の増加と、軸方向ブランケットの厚さを増加させたことによる遮へい効果が打ち消しあった結果を考えることができる。一方、上部軸方向ブランケットを短縮したMA含有燃料炉心において、上部軸方向ブランケット上端での高速中性子束がフェーズⅡ代表炉心と比べて約50%増大していることがわかる。これはUIS下面に対する設計裕度2.0に収まる範囲での増大であり、炉心周り遮へいの成立性を見通すことは可能であると判断できる。

以上、核不拡散性向上炉心、MA含有燃料炉心の炉心周り遮へいの成立性をフェーズⅡ代表炉心との比較により概略評価した結果、両炉心とも成立性を見通せることがわかった。

### 3.4 まとめ

高速増殖炉の内的 (intrinsic) な核不拡散性を向上させる一方策として、ブランケット燃料に炉心燃料用の TRU を予め添加することにより、ブランケットにおける Pu を常に原子炉級以下 ( $^{240}\text{Pu}$  同位体組成比で > 18%) に保つ核不拡散性向上炉心を検討した。軽水炉使用済燃料から高速炉へ供給される可能性のある様々な TRU 組成の中で、最も高質量数化の進んでいない LWR 使用済燃料回収 TRU 組成（炉外時間 4 年）をブランケットに添加する TRU 組成に選び、ブランケットへの TRU 添加率を 5 wt% とすれば、軸方向ブランケット、径方向ブランケット共に、平均 Pu 組成を原子炉級に保つことができることを見出した。第 2 章で構築した MA 含有燃料炉心を参照炉心として検討を開始したが、炉心・燃料仕様の参考炉心からの変更は、炉心平均比出力及び炉心部取出平均燃焼度の設計条件を満足させるための、炉心高さの低減 (100 → 90 cm)、増殖比を 1.1 程度とするための軸方向ブランケットの伸長（上下合わせて 35 → 55 cm）である。核特性上の特徴として、参考炉心と比べ最大線出力が減少、初装荷核分裂性 Pu 重量が増加した。核特性、制御反応度収支は、いずれも設計条件を満足することを確認した。

炉心流量領域は、内側及び外側炉心がそれぞれ 4 領域、径方向ブランケットが 2 領域の合計 10 領域である。燃料要素全長を参考炉心に合わせるため下部ガスプレナム長を参考炉心より 100 mm 短縮した 1050 mm に設定したが、ブランケットの出力分担率增加による出力分布平坦化によって、被覆管肉厚中心最高温度 700°C 以下、燃料ピンバンドル部圧力損失 0.2 MPa 程度以下、被覆管の CDF (通常運転時) 0.5 以下を同時に満足する流量配分の可能な見通しが得られた。

なお、本炉心ではブランケットにおける出力分担率が増加するが、炉心周りの遮へい成立性は確保できる見通しである。

表 3-1 主要核特性

項目		単位	MA含有燃料炉心	核不拡散性向上炉心
基本仕様・炉心構成	熱出力	MW <sub>t</sub>	3530	←
	電気出力	MW <sub>e</sub>	1500	←
	運転サイクル長さ	月	26.3	←
	燃料交換バッチ数(炉心/径方向ブランケット)	—	4/4	←
	炉心高さ	cm	100	90
	軸方向ブランケット厚さ(上部/下部)	cm	35 (15/20)	55 (25/30)
	炉心燃料集合体数(内側/外側/合計)	—	288/274/562	←
	径方向ブランケット体数	—	96	←
	制御棒本数(主系/後備炉停止系)	—	40/17	←
	径方向遮へい体数(ステンレス鋼/Zr-H)	—	102/108	←
主要核特性	炉心等価直径	m	5.38	←
	遮へい体外接円径	m	6.77	←
	Pu富化度[Pu/HM](内側炉心/外側炉心)	wt%	19.6/22.1	19.6/21.9
	MA含有率[MA/HM](内側炉心/外側炉心)	wt%	3.0/3.0	3.0/3.0
	燃焼反応度	% Δk/kk'	1.8	1.5
	増殖比 (炉心/軸プラ/径プラ)	—	1.097 (0.836/0.189/0.072)	1.099 (0.747/0.275/0.077)
	最大線出力 <sup>1</sup> (内側炉心/外側炉心)	W/cm	411/395	393/378
	取出平均燃焼度(炉心/軸プラ/径プラ)	GWd/t	146/24/8	147/34/15
	全炉心取出平均燃焼度 <sup>2</sup>	GWd/t	93	85
	炉心平均比出力	kW/kg-MOX	40	41
出力分担率(炉心/軸プラ/径プラ)		%	92.5/5.9/1.6	83.9/12.9/3.2
最大高速中性子束[E>0.1 MeV]		n/cm <sup>2</sup> s	1.8×10 <sup>15</sup>	1.8×10 <sup>15</sup>
最大高速中性子照射量[E>0.1 MeV]		n/cm <sup>2</sup>	5.0×10 <sup>23</sup>	4.9×10 <sup>23</sup>
初装荷核分裂性Pu重量		t/GW <sub>e</sub>	5.7	6.4
原子炉倍増時間		年	75	81
複合システム倍増時間 <sup>3</sup>		年	85	88
ナトリウムボイド反応度 <sup>4</sup> [EOEC]		\$	5.9	5.7
ドップラ係数[EOEC]		Tdk/dT	-4.5×10 <sup>-3</sup>	-4.3×10 <sup>-3</sup>
実効遅発中性子割合		—	0.00318	0.00320

\*1 ラッパ管発熱(0.6%)、燃料膨張効果(1.2%)を考慮

\*2 ブランケット燃料を含む全体の取出平均燃焼度

\*3 燃料交換・定検期間 45日、燃料炉外滞在期間 5年

\*4 ラッパ管間ギャップ及び内部ダクト内の冷却材は非ボイド

表 3-2 燃料インベントリ(1/2) [核不拡散性向上炉心]

ELEMENT	内側炉心	外側炉心	軸プラ	径プラ	炉心合計	Pu富化度	内側炉心	外側炉心
						[Pu/HM]	0.196	0.219
U234	0.0	0.0	0.0	0.0	0.0	0.0	0.0	0.0
U235	19.1	17.7	31.0	17.4	36.8	48.4	85.2	
U236	0.0	0.0	0.0	0.0	0.0	0.0	0.0	
U238	6361.6	5880.0	10290.4	5784.8	12241.6	16075.2	28316.8	
Np237	158.1	168.0	31.5	17.7	326.1	49.2	375.3	
Pu238	49.7	52.9	12.5	7.0	102.6	19.5	122.1	
Pu239	888.0	943.9	252.6	142.0	1831.9	394.6	2226.5	
Pu240	484.8	515.4	125.5	70.5	1000.2	196.0	1196.2	
Pu241	32.0	34.0	59.8	33.6	65.9	93.3	159.3	
Pu242	163.4	173.7	36.4	20.5	337.1	56.9	393.9	
Am241	74.5	56.4	15.2	8.6	130.9	23.8	154.6	
Am242m	0.1	0.1	0.0	0.0	0.2	0.0	0.2	
Am243	13.3	10.1	7.6	4.3	23.4	11.9	35.3	
Cm242	0.0	0.0	0.0	0.0	0.0	0.0	0.0	
Cm243	0.0	0.0	0.0	0.0	0.0	0.0	0.0	
Cm244	1.1	0.8	2.2	1.2	1.9	3.4	5.3	
Cm245	0.4	0.3	0.0	0.0	0.6	0.0	0.6	
Cm246	0.0	0.0	0.0	0.0	0.0	0.0	0.0	
U合計	6380.8	5897.7	10321.3	5802.2	12278.5	16123.5	28402.0	
Np合計	158.1	168.0	31.5	17.7	326.1	49.2	375.3	
Pu合計	1617.9	1719.8	486.7	273.6	3337.7	760.4	4098.1	
Am合計	87.9	66.5	22.8	12.8	154.4	35.6	190.0	
Cm合計	1.4	1.1	2.2	1.2	2.5	3.4	5.9	
HM合計	8246.0	7853.1	10864.5	6107.6	16099.1	16972.1	33071.3	
ランプ化FP	0.0	0.0	0.0	0.0	0.0	0.0	0.0	
随伴FP	31.8	30.2	0.0	0.0	62.0	0.0	62.0	
FP合計	31.8	30.3	0.0	0.0	62.0	0.0	62.0	
取出燃料、1 パッチ当たりの重量[kg]				Pu富化度	内側炉心	外側炉心		
				[Pu/HM]	0.219	0.228		
ELEMENT	内側炉心	外側炉心	軸プラ	径プラ	炉心合計	プラ合計	合計	
U234	4.2	4.4	1.1	0.6	8.6	1.6	10.3	
U235	4.6	7.0	17.0	12.7	11.6	29.6	41.2	
U236	3.1	2.5	3.2	1.1	5.6	4.3	9.9	
U238	5142.0	5114.7	9505.6	5562.6	10256.6	15068.2	25324.8	
Np237	47.9	77.0	20.3	14.1	124.9	34.4	159.3	
Pu238	81.4	85.6	21.2	10.3	167.1	31.6	198.6	
Pu239	747.2	779.5	657.7	275.3	1526.7	933.0	2459.8	
Pu240	464.2	492.0	176.2	80.2	956.2	256.4	1212.6	
Pu241	68.2	61.8	34.2	19.5	129.9	53.8	183.7	
Pu242	121.4	139.7	36.8	20.7	261.0	57.5	318.6	
Am241	34.6	39.6	22.6	15.6	74.2	38.2	112.4	
Am242m	2.7	2.3	0.9	0.4	5.1	1.3	6.4	
Am243	30.1	26.5	8.9	4.7	56.6	13.6	70.2	
Cm242	2.0	1.4	0.5	0.2	3.3	0.7	4.1	
Cm243	0.3	0.2	0.0	0.0	0.4	0.1	0.5	
Cm244	16.3	9.8	4.0	1.6	26.1	5.6	31.7	
Cm245	2.3	1.1	0.5	0.1	3.4	0.6	4.0	
Cm246	0.2	0.1	0.0	0.0	0.3	0.0	0.3	
U合計	5153.8	5128.6	9526.8	5576.9	10282.4	15103.7	25386.2	
Np合計	47.9	77.0	20.3	14.1	124.9	34.4	159.3	
Pu合計	1482.3	1558.6	926.2	406.1	3040.9	1332.3	4373.3	
Am合計	67.4	68.4	32.5	20.7	135.8	53.2	189.0	
Cm合計	21.1	12.6	5.1	1.9	33.6	7.0	40.6	
HM合計	6772.5	6845.2	10510.9	6019.8	13617.7	16530.7	30148.4	
ランプ化FP	1473.5	1007.9	353.6	87.8	2481.5	441.4	2922.9	
随伴FP	31.8	30.2	0.0	0.0	62.0	0.0	62.0	
FP合計	1505.3	1038.2	353.6	87.8	2543.5	441.4	2984.9	

注) 取出燃料中の<sup>240</sup>Pu同位体組成比(wt%)は以下の通り。  
 内側炉心 外側炉心 軸プラ 径プラ 炉心合計 プラ合計 合計  
 31.3% 31.6% 19.0% 19.8% 31.4% 19.2% 27.7%

表 3-2 燃料インベントリ(2/2) [核不拡散性向上炉心]

ELEMENT	平衡サイクル初期、重量[kg]				Pu富化度 [Pu/HM]	内側炉心 0.207	外側炉心 0.223	合計
	内側炉心	外側炉心	軸プラ	径プラ	炉心合計	プラ合計		
U234	6.5	6.5	1.5	0.8	13.0	2.3	15.3	
U235	47.4	50.8	99.6	62.0	98.2	161.5	259.7	
U236	6.4	4.8	5.7	1.9	11.2	7.5	18.7	
U238	23526.9	22334.5	39962.1	22804.6	45861.4	62766.7	108628.1	
Np237	422.8	510.6	106.8	65.0	933.4	171.8	1105.2	
Pu238	296.9	289.1	65.5	33.2	586.0	98.7	684.7	
Pu239	3340.0	3502.3	1726.6	784.9	6842.4	2511.5	9353.9	
Pu240	1917.3	2033.2	559.9	293.2	3950.5	853.1	4803.6	
Pu241	209.7	194.3	187.7	109.4	403.9	297.0	700.9	
Pu242	582.6	638.8	147.2	82.5	1221.5	229.7	1451.1	
Am241	217.4	191.9	76.1	47.2	409.4	123.3	532.7	
Am242m	7.8	5.3	1.6	0.6	13.1	2.2	15.2	
Am243	88.2	71.0	32.6	17.8	159.1	50.4	209.5	
Cm242	8.3	4.9	1.5	0.5	13.2	1.9	15.2	
Cm243	0.8	0.3	0.1	0.0	1.1	0.1	1.2	
Cm244	27.5	15.9	11.7	5.5	43.3	17.1	60.5	
Cm245	3.3	1.8	0.7	0.2	5.2	0.9	6.1	
Cm246	0.2	0.1	0.0	0.0	0.3	0.0	0.3	
U合計	23587.2	22396.6	40068.8	22869.2	45983.8	62938.0	108921.8	
Np合計	422.8	510.6	106.8	65.0	933.4	171.8	1105.2	
Pu合計	6346.4	6657.8	2686.8	1303.2	13004.2	3990.0	16994.2	
Am合計	313.4	268.2	110.3	65.6	581.6	175.8	757.4	
Cm合計	40.1	23.0	14.0	6.1	63.1	20.1	83.2	
HM合計	30710.0	29856.1	42986.7	24309.1	60566.1	67295.8	127861.9	
ランプ化FP	2274.1	1556.4	471.5	121.2	3830.5	592.7	4423.2	
随伴FP	127.1	120.9	0.0	0.0	248.1	0.0	248.1	
FP合計	2401.2	1677.4	471.5	121.2	4078.6	592.7	4671.3	

ELEMENT	平衡サイクル末期、重量[kg]				Pu富化度 [Pu/HM]	内側炉心 0.212	外側炉心 0.225	合計
	内側炉心	外側炉心	軸プラ	径プラ	炉心合計	プラ合計		
U234	10.7	11.0	2.6	1.4	21.6	4.0	25.6	
U235	32.8	40.1	85.6	57.2	72.9	142.8	215.7	
U236	9.5	7.3	8.8	3.0	16.8	11.8	28.6	
U238	22307.3	21569.2	39177.3	22582.4	43876.5	61759.7	105636.2	
Np237	312.7	419.5	95.7	61.4	732.2	157.0	889.2	
Pu238	328.6	321.9	74.2	36.5	650.5	110.7	761.2	
Pu239	3199.2	3337.9	2131.7	918.2	6537.2	3050.0	9587.1	
Pu240	1896.6	2009.8	610.6	302.9	3906.4	913.5	4819.9	
Pu241	245.8	222.1	162.2	95.3	467.9	257.4	725.4	
Pu242	540.6	604.8	147.6	82.7	1145.4	230.3	1375.8	
Am241	177.5	175.2	83.5	54.3	352.7	137.8	490.5	
Am242m	10.4	7.6	2.5	1.0	18.0	3.5	21.5	
Am243	104.9	87.4	33.9	18.2	192.3	52.1	244.4	
Cm242	10.3	6.2	2.0	0.7	16.5	2.7	19.2	
Cm243	1.0	0.5	0.1	0.0	1.5	0.2	1.7	
Cm244	42.7	24.9	13.5	5.8	67.6	19.3	86.9	
Cm245	5.3	2.7	1.2	0.3	7.9	1.5	9.5	
Cm246	0.4	0.2	0.1	0.0	0.6	0.1	0.6	
U合計	22360.3	21627.6	39274.3	22644.0	43987.8	61918.2	105906.1	
Np合計	312.7	419.5	95.7	61.4	732.2	157.0	889.2	
Pu合計	6210.9	6496.5	3126.3	1435.7	12707.4	4562.0	17269.4	
Am合計	292.9	270.1	120.0	73.4	563.0	193.4	756.4	
Cm合計	59.7	34.4	16.9	6.8	94.2	23.7	117.9	
HM合計	29236.5	28848.2	42633.1	24221.3	58084.7	66854.4	124939.0	
ランプ化FP	3747.6	2564.3	825.1	209.1	6311.9	1034.1	7346.0	
随伴FP	127.1	120.9	0.0	0.0	248.1	0.0	248.1	
FP合計	3874.7	2685.3	825.1	209.1	6560.0	1034.1	7594.1	

表 3-3 制御棒価値 [核不拡散性向上炉心]

項目	主炉停止系制御棒	後備炉停止系制御棒	
	ワンロッドスタック時	全数挿入時	ワンロッドスタック時
ノミナル値 <sup>*1</sup>	6.8	2.3	2.0
最小値 <sup>*2</sup>	6.2	2.1	1.8

\*1 群縮約、ランピング、輸送及びメッシュの各補正因子を考慮した値

補正の方法は、主及び後備炉停止系制御棒全数挿入時の制御棒価値計算値が、補正を考慮したノミナル値と一致するようにB<sub>4</sub>Cの原子数密度を希釈（希釈率：0.43）することで行った。

\*2 制御棒価値の予測誤差9%（3σ）を考慮し、ノミナル値に0.91をかけた値

表 3・4 制御反応度収支 [核不拡散性向上炉心]

単位 : %  $\Delta k/kk'$ 

項目	主炉停止系制御棒		後備炉停止系制御棒	
	ワントロッドスタンク時	全数挿入時	ワントロッドスタンク時	ワントロッドスタンク時
(1) 計画余剰反応度	3. 4 (0. 8)	下記a～c項の積算 定格出力から低温零出力の ノミナル値 <sup>*1</sup>	0. 8 (0. 8)	下記a～c項の積算 定格出力から低温零出力の ノミナル値 <sup>*1</sup>
a. 出力補償	(0. 8)	定格出力から低温零出力の ノミナル値 <sup>*1</sup>	—	(0. 6) (0. 6)
b. 燃焼補償	(2. 4)	定格出力から低温零出力の ノミナル値 <sup>*1</sup>	—	—
c. 運転余裕	(0. 2)	定格出力から低温零出力の ノミナル値 <sup>*1</sup>	—	—
(2) 余剰反応度不確かさ	0. 5 (0. 0)	下記a～d項を統計処理し、 小数点以下1桁に切り上げ —	0. 2 (0. 12)	下記b項を小数点以下1桁に 切り上げ 上記出力補償の15% (0. 09)
a. 臨界予測誤差	—	—	—	—
b. 出力補償予測誤差	—	—	—	上記出力補償の15%
c. 燃料製作公差	(0. 39)	—	—	—
d. 燃料交換余裕	(0. 20)	実証炉設定値 ( $1\sigma=0.1$ )	—	—
(3) 事故時投入反応度	—	—	0. 2	主炉停止系制御棒中途挿入 状態からの1本誤引抜反応度
(4) 必要制御反応度合計	3. 9	(1)～(3)の合計	1. 2	(1)～(3)の合計
(5) 制御棒価値	6. 2	予測誤差を考慮した最小値	2. 1	予測誤差を考慮した最小値
(6) 炉停止余裕	2. 3 $\beta_{\text{eff}}$ 以上であり成立	(5)～(4)：設計目標 ( $0.4=1$ ) (5)～(4)：炉停止余裕を確保でき成立	0. 9	(5)～(4)：炉停止余裕を確保でき成立 0. 9

\*1 出力補償反応度は、燃料のドップラ反応度に炉心各部の熱膨張効果を加えて評価

表 3-5 反応度特性 (平衡サイクル末期 定格出力時) [核不拡散性向上炉心]

反応度特性	単位	炉心部			ブランケット部			合計
		内側炉心	外側炉心	合計	軸方向(上部)	軸方向(下部)	径方向	
ボイド反応度*1	\$	4.2 (4.2)	1.5 (1.5)	5.7 (5.7)	— (0, 1)	— (0, 2)	— (0. 02)	— (0, 1)
ドッペラ係数*2	$T \Delta k / \Delta T$	-3. 03E-03	-1. 28E-03	-4. 31E-03	-2. 29E-04	-1. 02E-03	-1. 62E-04	-1. 42E-03
密度係数	燃料	$\Delta k / kk' / (\Delta \rho / \rho)$	1. 77E-01	9. 44E-02	2. 71E-01	7. 00E-03	9. 08E-03	2. 33E-03
	構造材	同上	-5. 63E-02	-2. 15E-02	-7. 77E-02	1. 06E-03	-2. 59E-03	1. 97E-04
	冷却材*3	同上	-1. 99E-02	-7. 32E-03	-2. 72E-02	3. 18E-04	-6. 92E-04	1. 16E-04
形状係数	軸方向	$\Delta k / kk' / (\Delta z / z)$	0. 0837	0. 0447	0. 1284	—	—	—
	径方向	$\Delta k / kk' / (\Delta r / r)$	0. 0201	0. 0107	0. 0309	—	—	—

\*1 燃料集合体非均質効果等の補正(0.86)を含む。括弧内の値は全炉心ボイドとした場合の値。

\*2 燃料のみの値で、非均質断面積補正(1.05)を含む。

\*3 集合体間ギャップ及び内部ダクト内の冷却材の寄与も含む。

注1) 構造材のドッペラ係数(非均質断面積補正を含まず)は以下の通り。

構造材合計	単位	内側炉心	外側炉心	炉心部合計
	$T \Delta k / \Delta T$	-9. 62E-04	-4. 02E-04	-1. 36E-03
被覆管	同上	-5. 72E-04	-2. 39E-04	-8. 11E-04
ラッパ管	同上	-3. 90E-04	-1. 63E-04	-5. 52E-04

表 3-6 溫度係数（平衡サイクル末期 定格出力時） [核不拡散性向上炉心]

単位： $\times 10^{-6} \Delta k/k' / ^\circ C$ 

各部	炉心部			ブランケット部		
	内側炉心	外側炉心	合計	軸方向(上部)	軸方向(下部)	径方向
燃料	-1.6	-0.8	-2.4	-0.07	-0.09	-0.02
被覆管	1.5	0.6	2.1	-0.03	0.05	-0.01
ラッパ管	0.5	0.2	0.7	-0.01	0.02	0.00
下部支持板	-6.1	-3.3	-9.4	-0.29	-0.31	-0.09
冷却材 <sup>*1</sup>	5.7 (4.9)	2.1 (1.8)	7.7 (6.6)	-0.09 (0.08)	0.19 (0.16)	-0.03 (0.03)
ドップラー <sup>*2</sup>	-2.0	-1.0	-3.0	-0.3	-1.4	-0.2
						-1.6

\*1 集合体間ギャップ及び内部ダクト内の冷却材の寄与も含む。  
括弧内の値は、燃料集合体非均質効果等の補正 (0.86) を含む。

\*2 燃料のみ含み、構造材等の寄与は含まない。

表 3-7 動特性パラメータ（平衡サイクル末期） [核不拡散性向上炉心]

項目	評価値	
実効遅発中性子割合	$\beta_1$	0.00007
	$\beta_2$	0.00067
	$\beta_3$	0.00059
	$\beta_4$	0.00117
	$\beta_5$	0.00054
	$\beta_6$	0.00016
	合計	0.00320
遅発中性子先行核崩壊定数 [ $s^{-1}$ ]	$\lambda_1$	0.01
	$\lambda_2$	0.03
	$\lambda_3$	0.13
	$\lambda_4$	0.34
	$\lambda_5$	1.38
	$\lambda_6$	3.77
即発中性子寿命 [ $\mu s$ ]	0.36	

表 3-8 燃料仕様 [核不拡散性向上炉心]

項目	単位	仕様
炉心燃料集合体	燃料集合体型式	改良内部ダクト型 (集合体コーン部燃料要素16本削除)
	燃料材料	軽水炉取出回収PU添加MOX燃料
	構造材材料 (被覆管/ラッパ管)	ODS/PNC-FMS
	燃料要素本数/集合体	255
	炉心高さ	900
	軸方向ブランケット厚 (上/下)	550 (250/300)
	燃料要素外径	10.4
	被覆管肉厚	0.71
	燃料要素配列ピッチ	11.5
	燃料要素配列ピッチ／燃料要素外径	1.106
	ワイヤスペーサ径	1.03
	ワイヤスペーサ巻付ピッチ	200
	ガスプレナム長 (上部/下部)	100/1050
	燃料要素全長	2690
	内部ダクト	
	ダクト厚	2.0
	ダクト外面の1辺の長さ	46.0
	削除される燃料要素本数	16
径方向ブランケット燃料集合体	燃料集合体型式	正三角配列型
	燃料材料	Pu添加劣化ウラン
	構造材材料 (被覆管/ラッパ管)	ODS/PNC-FMS
	燃料要素本数/集合体	217
	径方向ブランケット燃料高さ	1450
	燃料要素外径	11.7
	被覆管肉厚	0.415
	燃料要素配列ピッチ	12.83
	燃料要素配列ピッチ／燃料要素外径	1.097
	ワイヤスペーサ径	1.07
共通事項	ワイヤスペーサ巻付ピッチ	200
	ガスプレナム長 (上部/下部)	100/1050
	燃料要素全長	2690
	ラッパ管肉厚	5.0
	ラッパ管内対面間距離	191.6
	集合体間ギャップ	4.4
	集合体配列ピッチ	206.0

表 3-9 炉心流量配分と熱流力特性及び被覆管 CDF [核不拡散性向上炉心]

領域	流量領域	集合体数	集合体流量 [kg/s]	領域流量 [kg/s]	被覆管最高温度 <sup>*1</sup> [°C]	バンドル部圧力損失 [MPa]	被覆管CDF
内側炉心	1	64	34.8	2227.2	677	0.21	0.48
	2	54	31.5	1701.0	686	0.18	0.49
	3	94	30.5	2867.0	686	0.17	0.50
	4	76	27.5	2090.0	692	0.15	0.49
	小計	288	-	8885.2	-	-	-
外側炉心	5	28	29.7	831.6	700	0.16	0.17
	6	70	27.0	1890.0	700	0.14	0.14
	7	92	23.7	2180.4	699	0.12	0.18
	8	84	19.0	1596.0	700	0.09	0.016
	小計	274	-	6498.0	-	-	-
径方向 ブランケット	9	42	13.1	550.2	698	-	-
	10	54	9.1	491.4	697	-	-
	小計	96	-	1041.6	-	-	-
合計		658	-	16424.8 <sup>*2</sup>	-	-	-

\*1 肉厚中心、ホットスポット温度

\*2 1次系流量の91.3% (燃料集合体に配分可能な流量=95.5%)

表 3-10 径方向ブランケット外側での中性子束の比較（炉心中心高さ位置）

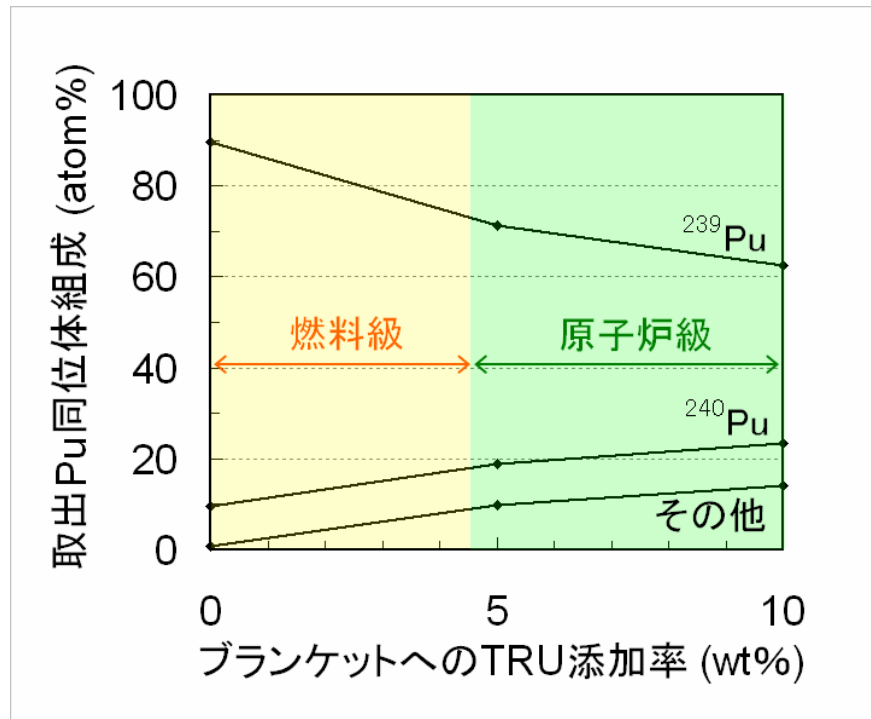
	中性子エネルギー	中性子束 (n/(cm <sup>2</sup> · s)) (EOEC)	比較 ([A]に対する増減)
[A] フェーズⅡ代表炉心	全中性子束	3. 16E+14	
	0. 1MeV以上	1. 17E+14	
	1. 0MeV以上	2. 32E+13	
[B] 核不拡散性向上炉心	全中性子束	3. 09E+14	-2. 4%
	0. 1MeV以上	1. 38E+14	17. 6%
	1. 0MeV以上	2. 95E+13	27. 1%
[C] MA 含有燃料炉心	全中性子束	2. 50E+14	-20. 9%
	0. 1MeV以上	9. 69E+13	-17. 5%
	1. 0MeV以上	1. 90E+13	-18. 1%

表 3-11 下部軸方向ブランケット下端での中性子束の比較

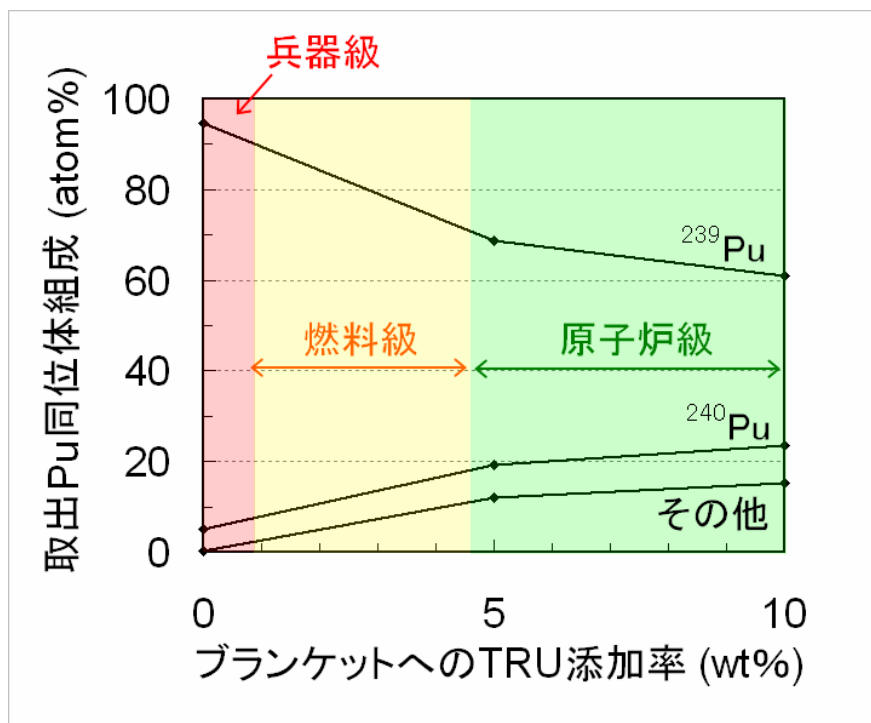
	中性子エネルギー	径方向最大中性子束 (n/(cm <sup>2</sup> · s)) (EOEC)	比較 ([A]に対する増減)
[A] フェーズⅡ代表炉心	全中性子束	1. 02E+15	
	0. 1MeV以上	3. 92E+14	
	1. 0MeV以上	7. 93E+13	
[B] 核不拡散性向上炉心	全中性子束	9. 14E+14	-10. 1%
	0. 1MeV以上	3. 63E+14	-7. 3%
	1. 0MeV以上	7. 51E+13	-5. 3%
[C] MA 含有燃料炉心	全中性子束	1. 03E+15	1. 5%
	0. 1MeV以上	4. 01E+14	2. 4%
	1. 0MeV以上	8. 14E+13	2. 6%

表 3-12 上部軸方向ブランケット上端での中性子束の比較

	中性子エネルギー	径方向最大中性子束 (n/(cm <sup>2</sup> · s)) (EOEC)	比較 ([A]に対する増減)
[A] フェーズII代表炉心	全中性子束	3.92E+14	
	0.1MeV以上	1.63E+14	
	1.0MeV以上	3.22E+13	
[B] 核不拡散性向上炉心	全中性子束	3.79E+14	-3.2%
	0.1MeV以上	1.70E+14	4.4%
	1.0MeV以上	3.55E+13	10.1%
[C] MA 含有燃料炉心	全中性子束	5.33E+14	36.2%
	0.1MeV以上	2.37E+14	45.3%
	1.0MeV以上	4.75E+13	47.4%



(a) 軸方向プランケット



(b) 径方向プランケット

図 3-1 プランケットへの TRU 添加による取出 Pu 同位体組成の変化

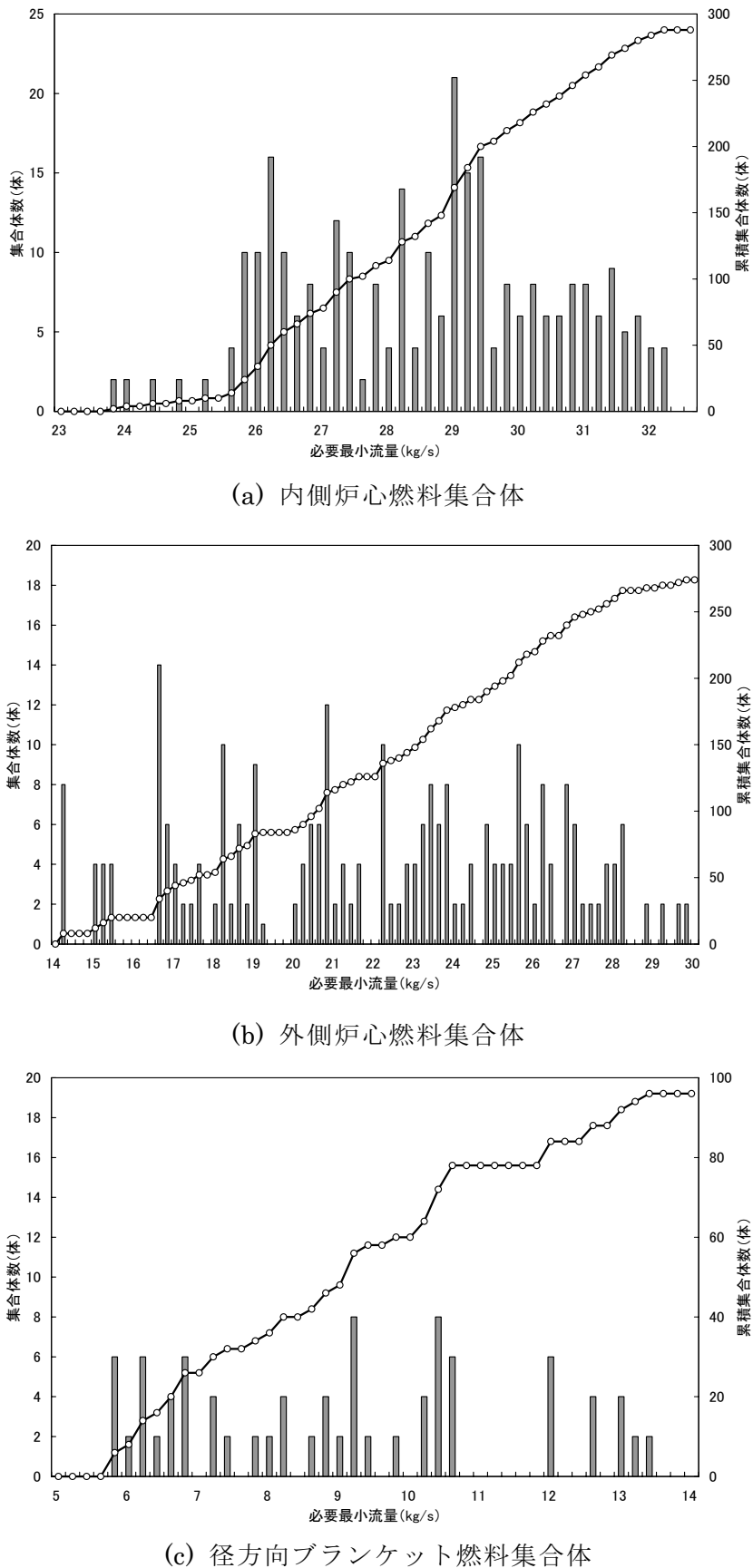
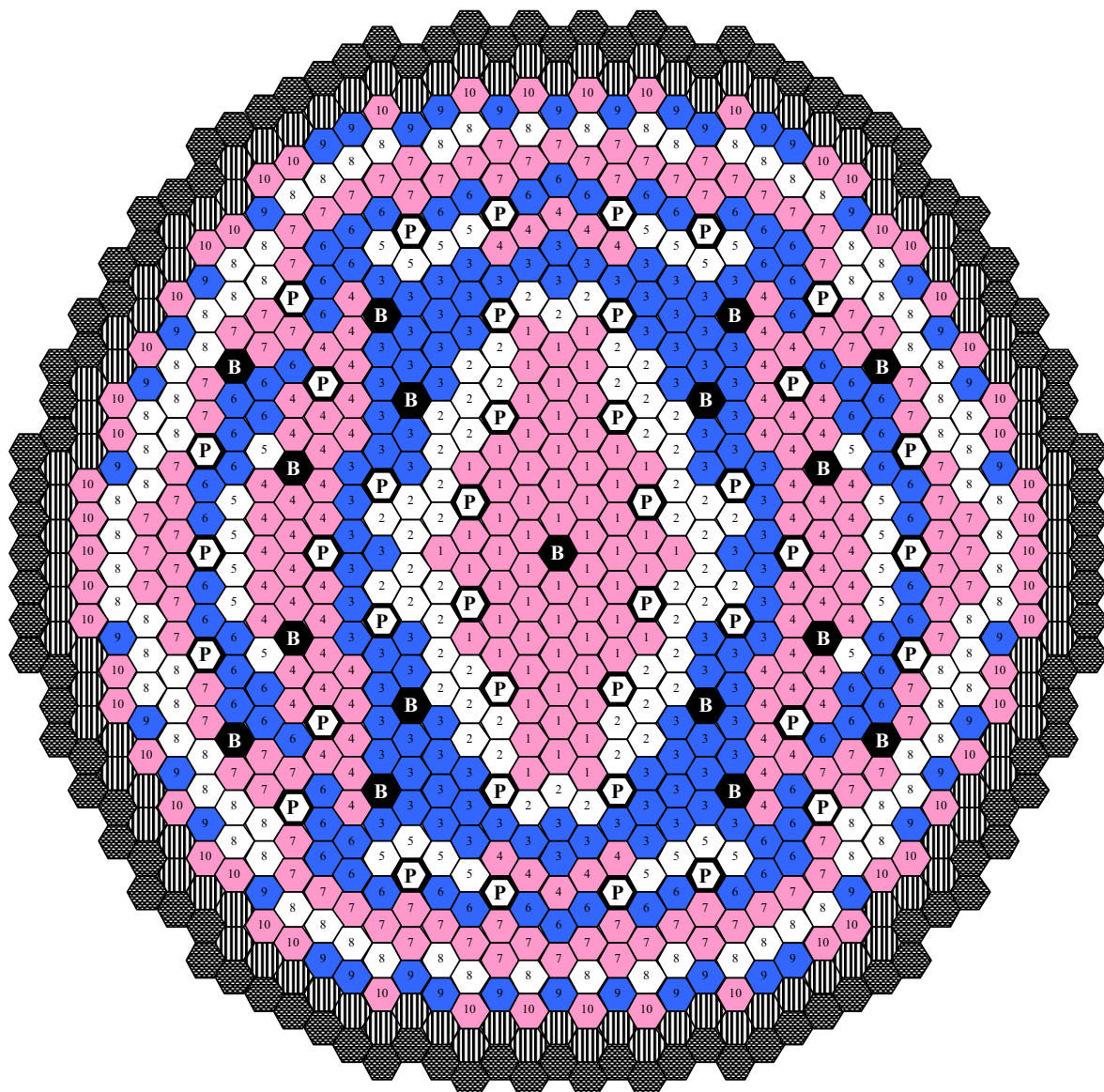


図 3-2 燃料集合体必要最少流量の度数分布 [核不拡散性向上炉心]



内側炉心（288 体）

第 1 流量領域	64 体
第 2 流量領域	54 体
第 3 流量領域	94 体
第 4 流量領域	76 体

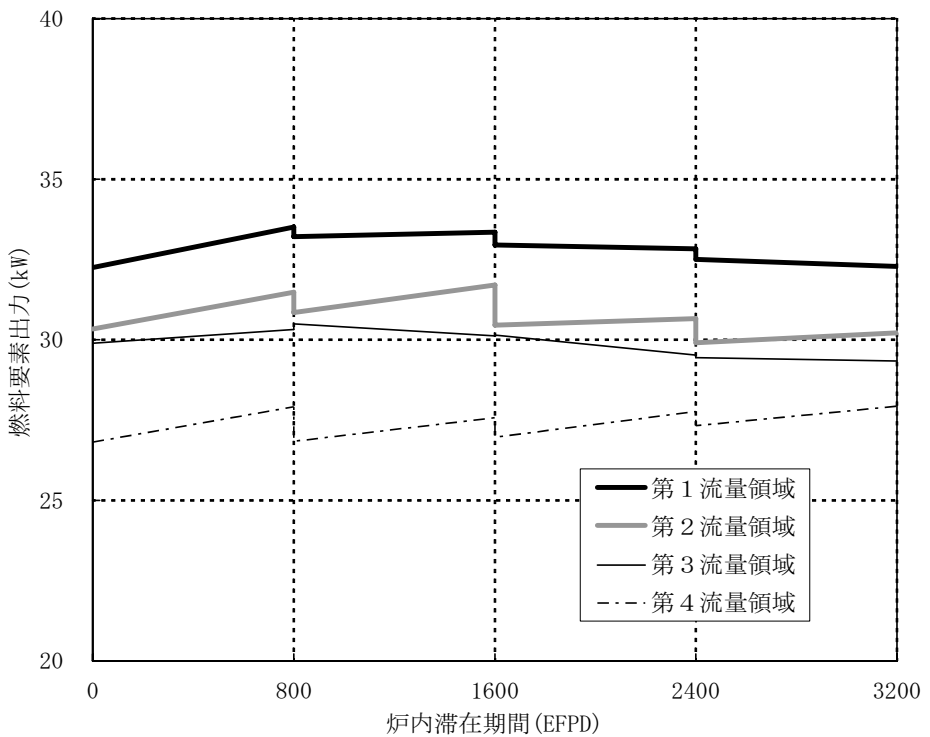
外側炉心（274 体）

第 5 流量領域	28 体
第 6 流量領域	70 体
第 7 流量領域	92 体
第 8 流量領域	84 体

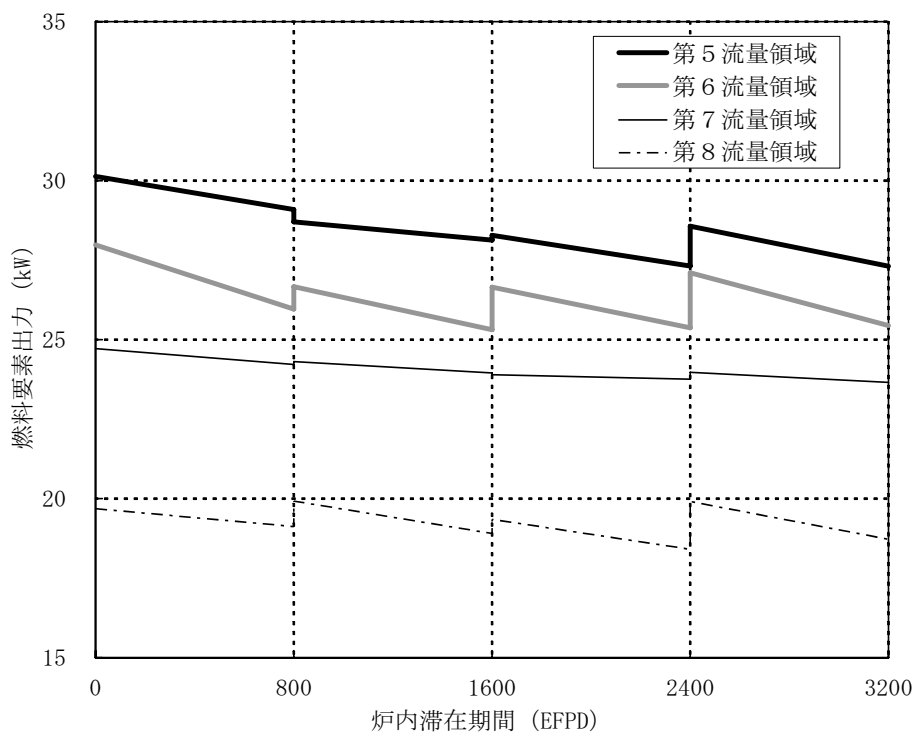
径方向ブランケット（96 体）

第 9 流量領域	42 体
第 10 流量領域	54 体

図 3-3 炉心流量領域区分 [核不拡散性向上炉心]

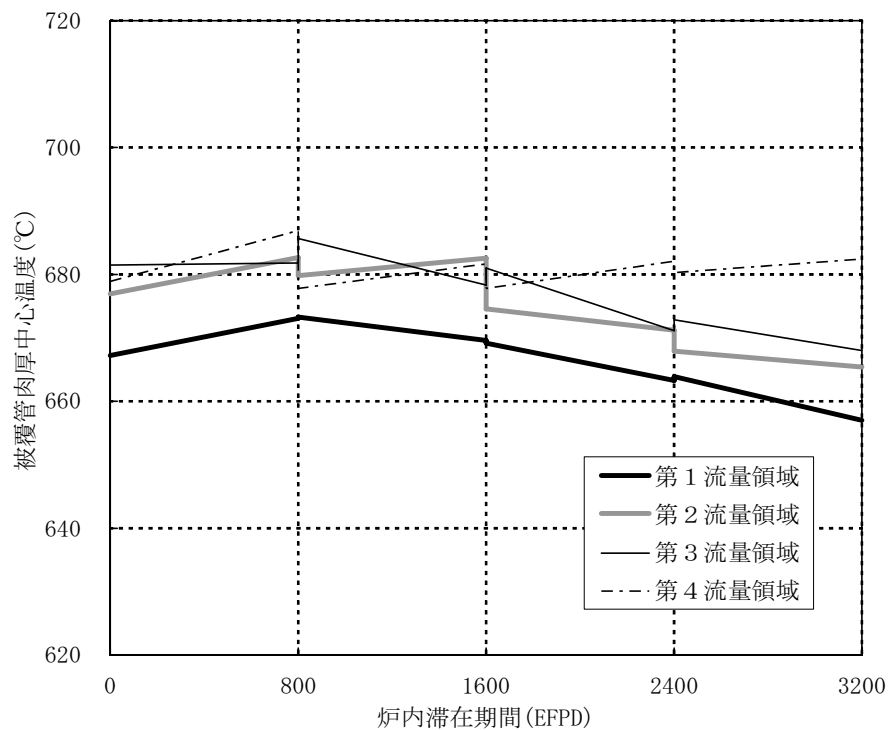


(a) 内側炉心燃料

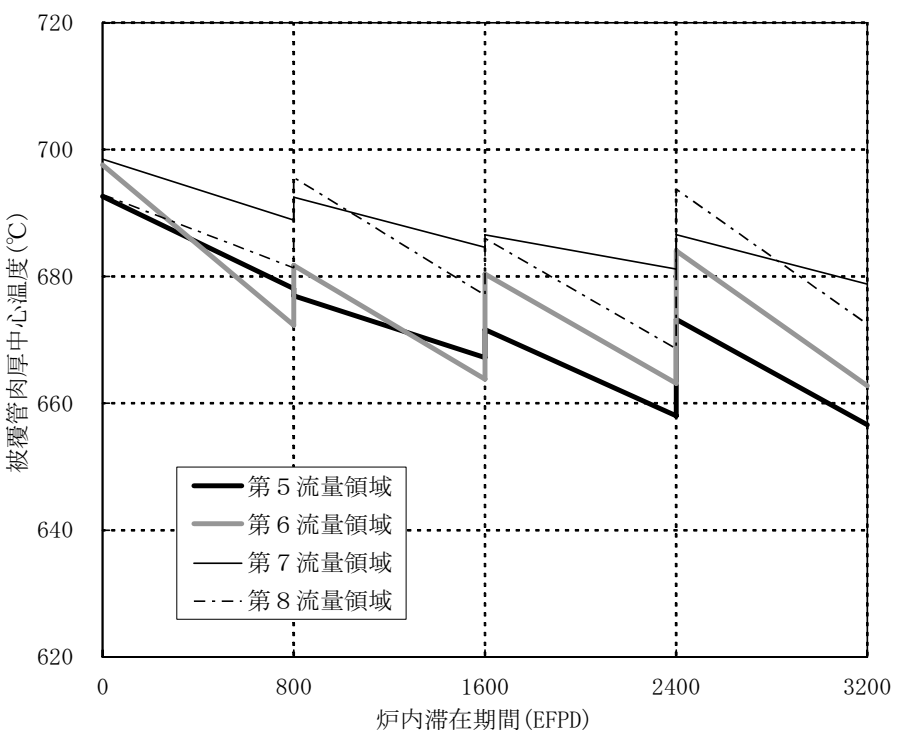


(b) 外側炉心燃料

図 3-4 CDF 評価対象燃料ピンの出力履歴 [核不拡散性向上炉心]



(a) 内側炉心燃料



(b) 外側炉心燃料

図 3-5 燃料ピンの被覆管最高温度(肉厚中心)履歴 [核不拡散性向上炉心]

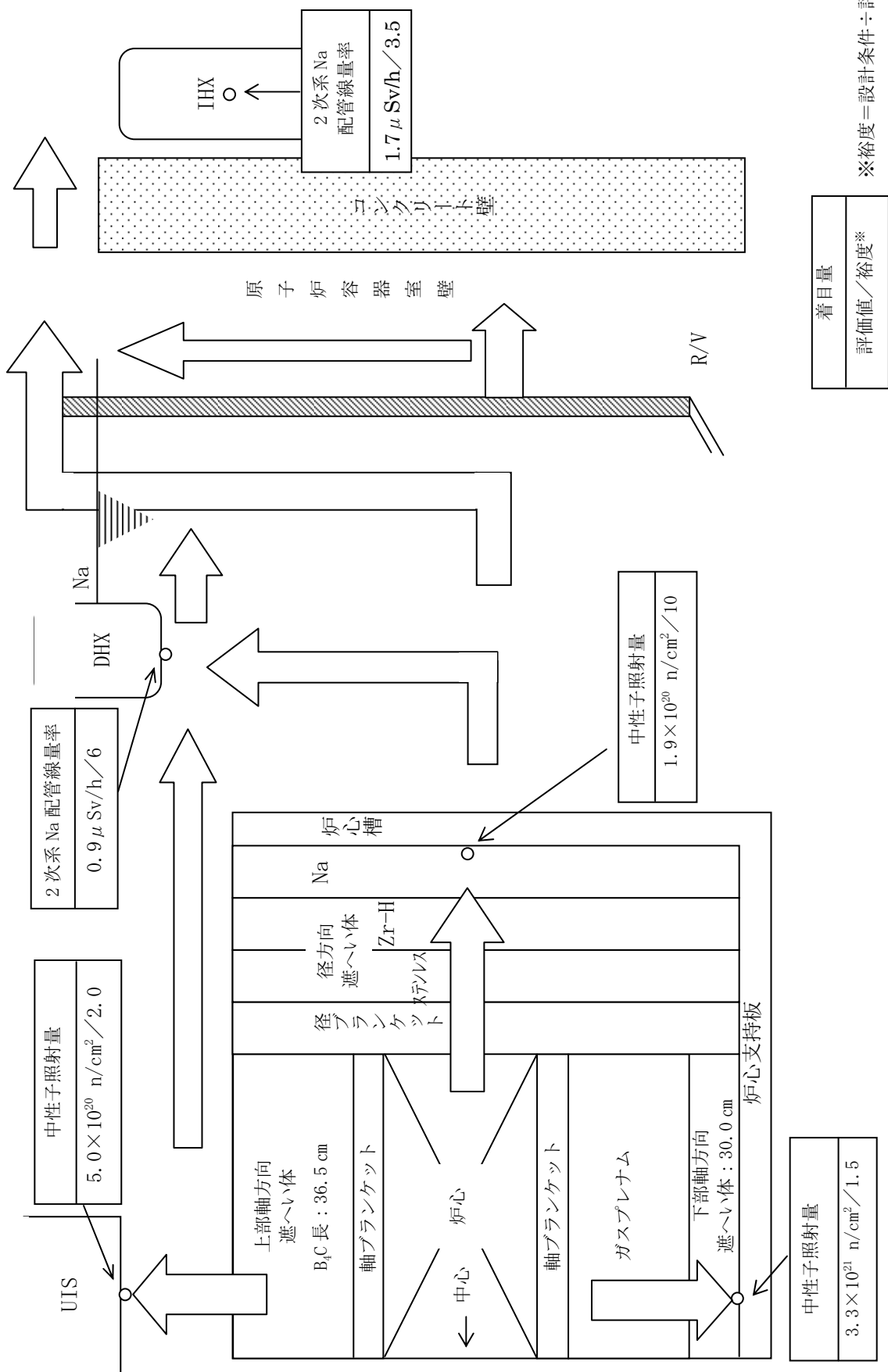


図 3-6 フェーズ II 代表炉心の炉心周り遮へい検討結果

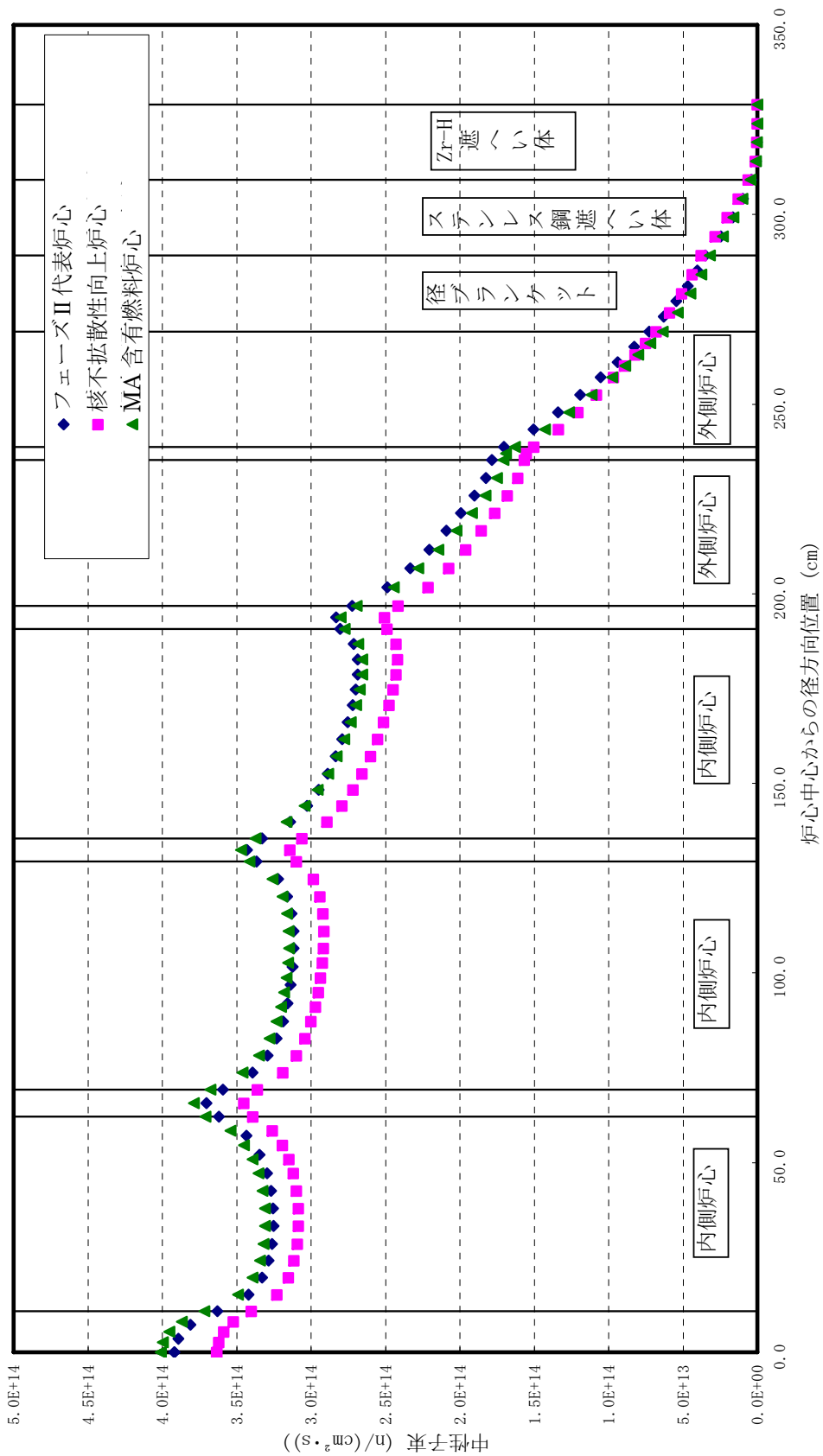


図 3-7 径方向高速中性子束分布の比較（下部軸方向プランケット下端、0.1MeV 以上）

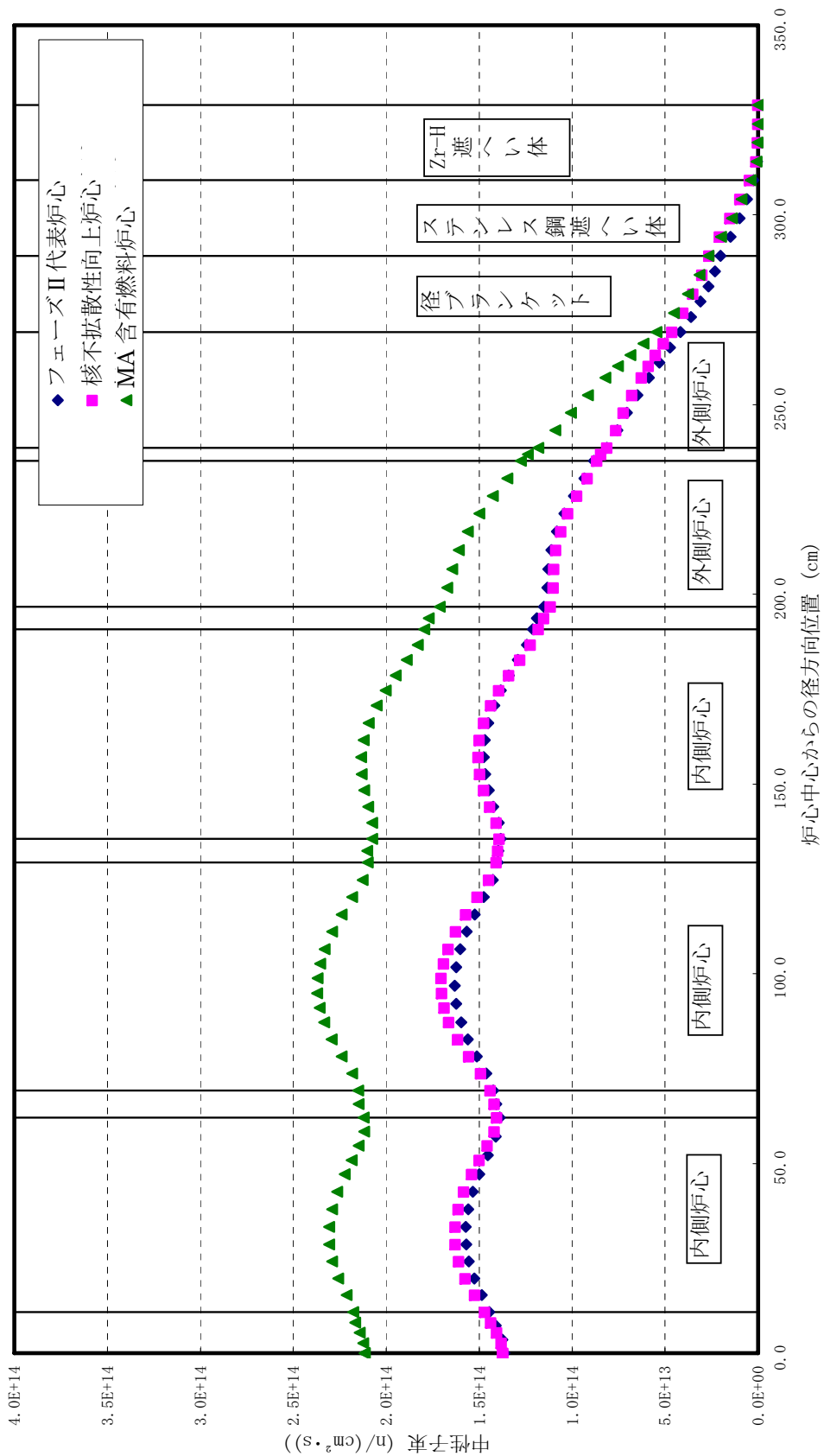


図3-8 径方向高速中性子束分布の比較（上部軸方向プランケット上端、0.1MeV以上）

#### 4. おわりに

FaCT の主概念であるナトリウム冷却炉大型 MOX 燃料高内部転換型炉心に関する設計検討として、本年度（2006 年度）は FS フェーズⅡにおいて構築した炉心を基に、「MA 含有燃料を用いた炉心」と「ブランケットへの Pu 添加による核不拡散性向上炉心」の検討を行った。

MA 含有燃料を用いた炉心の検討では、MA 含有率の高い ALWR 使用済燃料の TRU を用いた炉心を構築した。構築した炉心は、FS フェーズⅡの炉心に対して上部軸方向ブランケット 5 cm 短縮、下部ガスプレナム長さ 5 cm 伸長の変更を加えたのみである。

核特性としては、Pu 富化度が内側炉心が 19.6 wt%、外側炉心が 22.1 wt% であり、増殖比が約 1.1 である。取出平均燃焼度は炉心部が 146 GWd/t、ブランケット燃料を含む全炉心が 93 GWd/t、高速中性子照射量は  $5.0 \times 10^{23} \text{ n/cm}^2 \cdot \text{s}$  であり、いずれも設計条件を満足している。最大線出力は内側炉心が 411 W/cm、外側炉心が 395 W/cm、ナトリウムボイド反応度は 5.9 \$ であり設計目安を満足している。また、制御反応度収支は主炉停止系制御棒、後備炉停止系制御棒ともに十分な炉停止余裕を持って成立の見通しである。

炉心流量領域は、内側及び外側炉心がそれぞれ 4 領域、径方向ブランケットが 2 領域の合計 10 領域である。被覆管肉厚中心温度の最高は 700°C、燃料ピンバンドル部圧力損失の最大は 0.22 MPa であり設計条件を満足している。また、炉心及び径方向ブランケット燃料への流量は 16,756 kg/s (1 次系冷却材流量の 93.1%) であり、炉心に配分可能な流量 95.5% に対して 2.4% の余裕を有している。また、被覆管の CDF (通常運転時) は内側炉心の最大が 0.45、外側炉心の最大が 0.06 であり、いずれも設計条件を満足している。

ブランケットへの Pu 添加による核不拡散性向上炉心の検討では、上記の MA 含有燃料を用いた炉心をベースに炉心設計検討を行い、ブランケットへの TRU 添加率を最大でも 5 wt% とすれば、軸方向ブランケット、径方向ブランケット共に、平均 Pu 組成を原子炉級 ( $^{240}\text{Pu}$  同位体組成比で >18%) に保つことができることを見出した。必要な炉心・燃料仕様の変更は、炉心平均比出力及び炉心部取出平均燃焼度の設計条件を満足させるための炉心高さの低減 (100 → 90 cm)、増殖比を 1.1 程度とするための軸方向ブランケットの伸長 (上下合わせて 35 → 55 cm) である。初装荷核分裂性 Pu 重量が増加するものの、核特性、制御反応度収支はいずれも設計条件を満足する。

炉心流量領域は、内側及び外側炉心がそれぞれ 4 領域、径方向ブランケットが 2 領域の合計 10 領域である。燃料要素全長を変えないよう下部ガスプレナム長を 5 cm 短縮したが、ブランケットの出力分担率增加による出力分布平坦化によって、被覆管肉厚中心最高温度 700°C 以下、燃料ピンバンドル部圧力損失 0.2 MPa 程度以下、被覆管の CDF (通常運転時) 0.5 以下を同時に満足する流量配分の可能な見通しが得られた。

なお、本炉心ではブランケットにおける出力分担率が増加するが、炉心周りの遮へい成立性は確保できる見通しである。

## 謝辞

本ナトリウム冷却炉 MOX 燃料炉心の設計・評価については、JAEA・原電（9 電力会社、電源開発株式会社及び原電の代表）が立案した検討方針に従って、ARTECH 大久保 良幸 氏、三菱重工業 日比 宏基 氏、菅 太郎 氏に解析作業（炉心・燃料設計、熱流力設計、燃料健全性等）を担当して頂きました。また、(株)NESI 曽我 彰 氏には計算作業を担当して頂きました。

上記の方々には、設計・評価作業全般について、厳しいスケジュールの中ご尽力頂きました。この場を借りて、謝意を表します。

## 参考文献

- [1] 此村 守, 他, 「高速増殖炉サイクルの実用化戦略調査研究 フェーズII技術検討書(1) 原子炉プラントシステム」, JAEA-Research 2006-042, (2006).
- [2] 小川 隆, 他, 「ナトリウム冷却炉の炉心・燃料設計検討 (MOX 燃料炉心) –2005 年度報告ー」, JAEA-Research 2006-061, (2006).
- [3] 永沼 正行, 他, 「ナトリウム冷却炉の炉心・燃料設計検討 (MOX および金属燃料炉心) –2004 年度報告ー」, JNC TN9400 2005-051, (2005).
- [4] 水田 俊治, 他, 「ODS フェライト鋼被覆管の設計用関係式の検討」, JNC TN9400 2000-048, (2000).
- [5] 「高速増殖炉サイクル実用化研究開発 開発目標と設計要求について」, 日本原子力研究開発機構 次世代原子力システム研究開発部門 開発目標検討タスクフォース, (2007 年 8 月).
- [6] J. C. Mark, "Explosive Properties of Reactor-Grade Plutonium," *Science and Global Security*, Vol. 4, pp. 111-128 (1993).
- [7] 「原子炉級プルトニウムと兵器級プルトニウム 調査報告書」, 社団法人 原子燃料政策研究会, (2001).
- [8] B. Pellaud, "Proliferation Aspects of Plutonium Recycling," *Journal of Nuclear Materials Management*, Vol. XXXI, No.1, pp. 30-38 (2002).

This is a blank page.

# 国際単位系 (SI)

表1. SI 基本単位

基本量	SI 基本単位	
	名称	記号
長さ	メートル	m
質量	キログラム	kg
時間	秒	s
電流	アンペア	A
熱力学温度	ケルビン	K
物質量	モル	mol
光度	カンデラ	cd

表2. 基本単位を用いて表されるSI組立単位の例

組立量	SI 基本単位	
	名称	記号
面積	平方メートル	$m^2$
体積	立方メートル	$m^3$
速度	メートル毎秒	$m/s$
加速度	メートル毎秒毎秒	$m/s^2$
密度(質量密度)	キログラム毎立方メートル	$kg/m^3$
質量体積(比体積)	立法メートル毎キログラム	$m^3/kg$
電流密度	アンペア毎平方メートル	$A/m^2$
磁界の強さ	アンペア毎メートル	$A/m$
(物質量の)濃度	モル毎立方メートル	$mol/m^3$
輝度	カンデラ毎平方メートル	$cd/m^2$
屈折率	(数の)1	1

表3. 固有の名称とその独自の記号で表されるSI組立単位

組立量	SI 組立単位		
	名称	記号	他のSI単位による表し方
平面角	ラジアン <sup>(a)</sup>	rad	$m \cdot m^{-1}=1^{(b)}$
立体角	ステラジアン <sup>(a)</sup>	sr <sup>(c)</sup>	$m^2 \cdot m^{-2}=1^{(b)}$
周波数	ヘルツ	Hz	$s^{-1}$
力	ニュートン	N	$m \cdot kg \cdot s^{-2}$
圧力、応力	パスカル	Pa	$N/m^2$
エネルギー、仕事、熱量	ジュール	J	$N \cdot m$
功率、放射束	ワット	W	$J/s$
電荷、電気量	クーロン	C	$s \cdot A$
電位差(電圧)、起電力	ボルト	V	$W/A$
静電容量	フアラード	F	$C/V$
電気抵抗	オーム	$\Omega$	$m^2 \cdot kg \cdot s^4 \cdot A^2$
コンダクタンス	ジemens	S	$V/A$
磁束密度	テスラ	T	$A/V$
インダクタンス	ヘンリー	H	$m^2 \cdot kg \cdot s^{-3} \cdot A^2$
セルシウス温度	セルシウス度 <sup>(d)</sup>	°C	$Wb/m^2$
光束度	ルーメン	lm	$Wb/A$
(放射性核種の)放射能吸収線量、質量エネルギー分与、カーマ線量当量、周辺線量当量、方向性線量当量、個々人線量当量、組織線量当量	ベクレル	Bq	$cd \cdot sr^{(c)}$
	グレイ	Gy	$lm/m^2$
			$m^2 \cdot m^{-4} \cdot cd=m^{-2} \cdot cd$
			$s^{-1}$
			$J/kg$
			$m^2 \cdot s^{-2}$
			$J/kg$
			$m^2 \cdot s^{-2}$

(a) ラジアン及びステラジアンの使用は、同じ次元であっても異なる性質をもつた量を区別するときの組立単位の表し方として利点がある。組立単位を形作るときのいくつかの用例は表4に示されている。

(b) 実際には、使用する時には記号rad及びsrが用いられるが、習慣として組立単位としての記号“1”は明示されない。

(c) 測光学では、ステラジアンの名称と記号srを単位の表し方の中にそのまま維持している。

(d) この単位は、例としてミリセルシウス度m°CのようにSI接頭語を伴って用いても良い。

表4. 単位の中に固有の名称とその独自の記号を含むSI組立単位の例

組立量	SI 組立単位		
	名称	記号	SI 基本単位による表し方
粘度	パスカル秒	Pa·s	$m^{-1} \cdot kg \cdot s^{-1}$
力のモーメント	ニュートンメートル	N·m	$m^2 \cdot kg \cdot s^{-2}$
表面張力	ニュートン每メートル	N/m	$kg \cdot s^{-2}$
角速度	ラジアン毎秒	rad/s	$m \cdot m^{-1} \cdot s^{-1}=s^{-1}$
角加速度	ラジアン毎平方秒	rad/s <sup>2</sup>	$m \cdot m^{-1} \cdot s^{-2}=s^{-2}$
熱流密度、放射照度	ワット每平方メートル	W/m <sup>2</sup>	$kg \cdot s^{-3}$
熱容量、エントロピー	ジユール毎ケルビン	J/K	$m^2 \cdot kg \cdot s^{-2} \cdot K^{-1}$
質量熱容量(比熱容量)	ジユール毎キログラム	J/(kg·K)	$m^2 \cdot s^{-2} \cdot K^{-1}$
質量エントロピー	モル毎ケルビン	J/(mol·K)	$m^2 \cdot s^{-2} \cdot K^{-1}$
質量エネルギー(比エネルギー)	ジユール毎キログラム	J/kg	$m^2 \cdot s^{-2} \cdot K^{-1}$
熱伝導率	ワット每メートル毎ケルビン	W/(m·K)	$m \cdot kg \cdot s^{-3} \cdot K^{-1}$
体積エネルギー	ジユール毎立方メートル	J/m <sup>3</sup>	$m^{-1} \cdot kg \cdot s^{-2}$
電界の強さ	ボルト毎メートル	V/m	$m \cdot kg \cdot s^{-3} \cdot A^{-1}$
体積電荷	クーロン毎立方メートル	C/m <sup>3</sup>	$m^{-3} \cdot s \cdot A$
電気変位	クーロン毎平方メートル	C/m <sup>2</sup>	$m^{-2} \cdot s \cdot A$
誘電率	ファラード毎メートル	F/m	$m^{-3} \cdot kg^{-1} \cdot s^4 \cdot A^2$
透磁率	ヘンリー毎メートル	H/m	$m \cdot kg \cdot s^{-2} \cdot A^{-2}$
モルエネルギー	ジユール毎モル	J/mol	$m^2 \cdot kg \cdot s^{-2} \cdot mol^{-1}$
モルエントロピー	ジユール毎モル毎ケルモル	J/(mol·K)	$m^2 \cdot kg \cdot s^{-2} \cdot K^{-1} \cdot mol^{-1}$
モル熱容量	ビン		
照射線量(X線及びγ線)	クーロン毎キログラム	C/kg	$kg^{-1} \cdot s \cdot A$
吸収線量率	グレイ毎秒	Gy/s	$m^2 \cdot s^{-3}$
放射強度	ワット每平方メートル	W/sr	$m^4 \cdot m^{-2} \cdot kg \cdot s^{-3} \cdot m^2 \cdot kg \cdot s^{-3}$
放射輝度	ワット每平方メートル每ステラジアン	W/(m <sup>2</sup> ·sr)	$m^2 \cdot m^{-2} \cdot kg \cdot s^{-3} = kg \cdot s^{-3}$

表5. SI 接頭語

乗数	接頭語	記号	乗数	接頭語	記号
$10^{24}$	ヨタ	Y	$10^{-1}$	デシ	d
$10^{21}$	ゼタ	Z	$10^{-2}$	センチ	c
$10^{18}$	エクサ	E	$10^{-3}$	ミリ	m
$10^{15}$	ペタ	P	$10^{-6}$	マイクロ	μ
$10^{12}$	テラ	T	$10^{-9}$	ナノ	n
$10^9$	ギガ	G	$10^{-12}$	ピコ	p
$10^6$	メガ	M	$10^{-15}$	フェムト	f
$10^3$	キロ	k	$10^{-18}$	アト	a
$10^2$	ヘク	h	$10^{-21}$	ゼット	z
$10^1$	デカ	da	$10^{-24}$	ヨクト	y

表6. 国際単位系と併用されるが国際単位系に属さない単位

名称	記号	SI 単位による値
分	min	1 min=60s
時	h	1h=60 min=3600 s
日	d	1 d=24 h=86400 s
度	°	$1^\circ=(\pi/180) \text{ rad}$
分	'	$1'=(1/60)^\circ=(\pi/10800) \text{ rad}$
秒	"	$1''=(1/60)'=(\pi/648000) \text{ rad}$
リットル	L	$1L=1 \text{ dm}^3=10^{-3} \text{ m}^3$
トン	t	$1t=10^3 \text{ kg}$
ネーベル	Np	$1Np=1$
ベル	B	$1B=(1/2) \ln 10 (Np)$

表7. 国際単位系と併用されこれに属さない単位でSI単位で表される数値が実験的に得られるもの

名称	記号	SI 単位であらわされる数値
電子ポルト	eV	$1eV=1.60217733(49) \times 10^{-19} \text{ J}$
統一原子質量単位	u	$1u=1.6605402(10) \times 10^{-27} \text{ kg}$
天文単位	ua	$1ua=1.49597870691(30) \times 10^{11} \text{ m}$

表8. 国際単位系に属さないが国際単位系と併用されるその他の単位

名称	記号	SI 単位であらわされる数値
海里	里	1 海里=1852m
ノット	ト	1 ノット=1 海里每時=(1852/3600)m/s
アード	ル	$1a=1 \text{ dam}^2=10^2 \text{ m}^2$
ヘクタール	ha	$1ha=1 \text{ hm}^2=10^4 \text{ m}^2$
バル	bar	$1 \text{ bar}=0.1 \text{ MPa}=100 \text{ kPa}=1000 \text{ hPa}=10^5 \text{ Pa}$
オンストローム	Å	$1 \text{ Å}=0.1 \text{ nm}=10^{-10} \text{ m}$
ペー	ン	$1 \text{ b}=100 \text{ fm}^2=10^{-28} \text{ m}^2$

表9. 固有の名称を含むCGS組立単位

名称	記号	SI 単位であらわされる数値
エルグ	erg	$1 \text{ erg}=10^{-7} \text{ J}$
ダイニン	dyn	$1 \text{ dyn}=10^{-5} \text{ N}$
ボアズ	P	$1 P=1 \text{ dyn} \cdot s/cm^2=0.1 \text{ Pa} \cdot s$
ストーカス	St	$1 St=1cm^2/s=10^4 \text{ m}^2/s$
ガウス	G	$1 G=10^{-4} \text{ T}$
エルステッド	Oe	$1 Oe=(1000/4\pi) \text{ A/m}$
マクスウェル	Mx	$1 Mx=10^{-8} \text{ Wb}$
スチール	sb	$1 sb=1cd/cm^2=10^4 \text{ cd/m}^2$
ホル	ph	$1 ph=10^4 \text{ lx}$
ガル	Gal	$1 Gal=1 \text{ cm/s}=10^{-2} \text{ m/s}$

表10. 国際単位に属さないその他の単位の例

名称	記号	SI 単位であらわされる数値
キュリ	Ci	$1 Ci=3.7 \times 10^{10} \text{ Bq}$
レントゲン	R	$1 R=2.58 \times 10^{-4} \text{ C/kg}$
ラド	rad	$1 rad=1 \text{ cGy}=10^{-2} \text{ Gy}$
レム	rem	$1 rem=1 \text{ cSv}=10^{-3} \text{ Sv}$
X線単位		$1X \text{ unit}=1.002 \times 10^{-4} \text{ nm}$
ガンマ	γ	$1 \gamma=1 \text{ nT}=10^{-9} \text{ T}$
ジャンスキ	Jy	$1 Jy=10^{-26} \text{ W} \cdot \text{m}^{-2} \cdot \text{Hz}^{-1}$
フェルミ	fm	$1 fermi=1 \text{ fm}=10^{-15} \text{ m}$
メートル系カラット		$1 \text{ metric carat}=200 \text{ mg}=2 \times 10^{-4} \text{ kg}$
トル	Torr	$1 \text{ Torr}=(101.325/760) \text{ Pa}$
標準大気圧	atm	$1 \text{ atm}=101.325 \text{ Pa}$
力口リ	cal	
ミクロ	μ	$1 \mu \text{u}=1 \mu \text{m}=10^{-6} \text{ m}$

**R100**

古紙配合率100%  
白色度70%の再生紙を使用しています